

人工智能直觉架构 (AII)

(能量动力学认知架构 - EDCA)

文档摘要

本文档详细阐述了人工智能直觉架构 (AII)——一个被称为“能量动力学认知架构” (EDCA) 的完整设计方案。该架构旨在构建一个能够模拟类人意识流、实现自发性注意力涌现与分配、并由内在情绪反馈驱动进行持续学习与演化的通用智能模型。其核心是一种基于能量流动的图网络激活扩散模型，彻底摒弃了传统认知架构中对意识、潜意识、注意力的模块化硬性区分。取而代之的是，通过一个统一的激活池，以及其中认知节点的“能量”与节点间“连接强度”的动态生灭与演化，让联想、预测、学习、注意、乃至“想法”本身，都作为整个系统能量景观下的自然涌现现象。

架构的核心创新在于将“能量”作为信息处理的唯一通货。外部刺激与内部思考共同为认知节点注入能量，能量的流动构成了思维的轨迹，而能量的峰值自然形成了注意力的焦点。学习过程被重新定义为能量流动对神经网络路径的塑造与反塑造：能量的通过会“损耗”路径，而成功的预测（即后续能量流入验证了该路径）则会“修复”并“增强”路径，形成一个自稳定、用进废退的知识网络。更进一步，架构引入了创新的“情绪渗透”机制，将情绪反馈转化为一种特殊的“能量边”，能够直接放大或衰减流经的能量，从而为智能体的认知流赋予动机、偏好与价值导向，使其学习过程不再是冰冷的逻辑强化，而是充满“渴望”与“回避”的感性体验。

在此基础上，架构实现了对预测、自控与共情等高级认知功能的精妙模拟。它采用一种双层预测系统：一层是基于网络连接的快速联想，处理直觉与习惯；另一层是基于个人全部经验的“情景记忆预测器”，通过将当前“心智快照”与过往经历进行深度匹配与推演，实现对未来情境的精准预判与即时更新。注意力在架构中不仅是能量的焦点，更是一种能够主动调控认知流的力量。通过引入“链接不应期”等抑制机制，高级认知（想法）能够有效压制和管理已经形成的低级条件反射，赋予了智能体强大的自我控制能力。尤为独特的是，“同理心”作为一种高级社会智能，从情景记忆预测器中自然涌现：当智能体认知到他者的经历时，它会检索并“重放”自身数据库中最相似的记忆片段，从而在认知和情感层面“感同身受”，实现真正的共情。

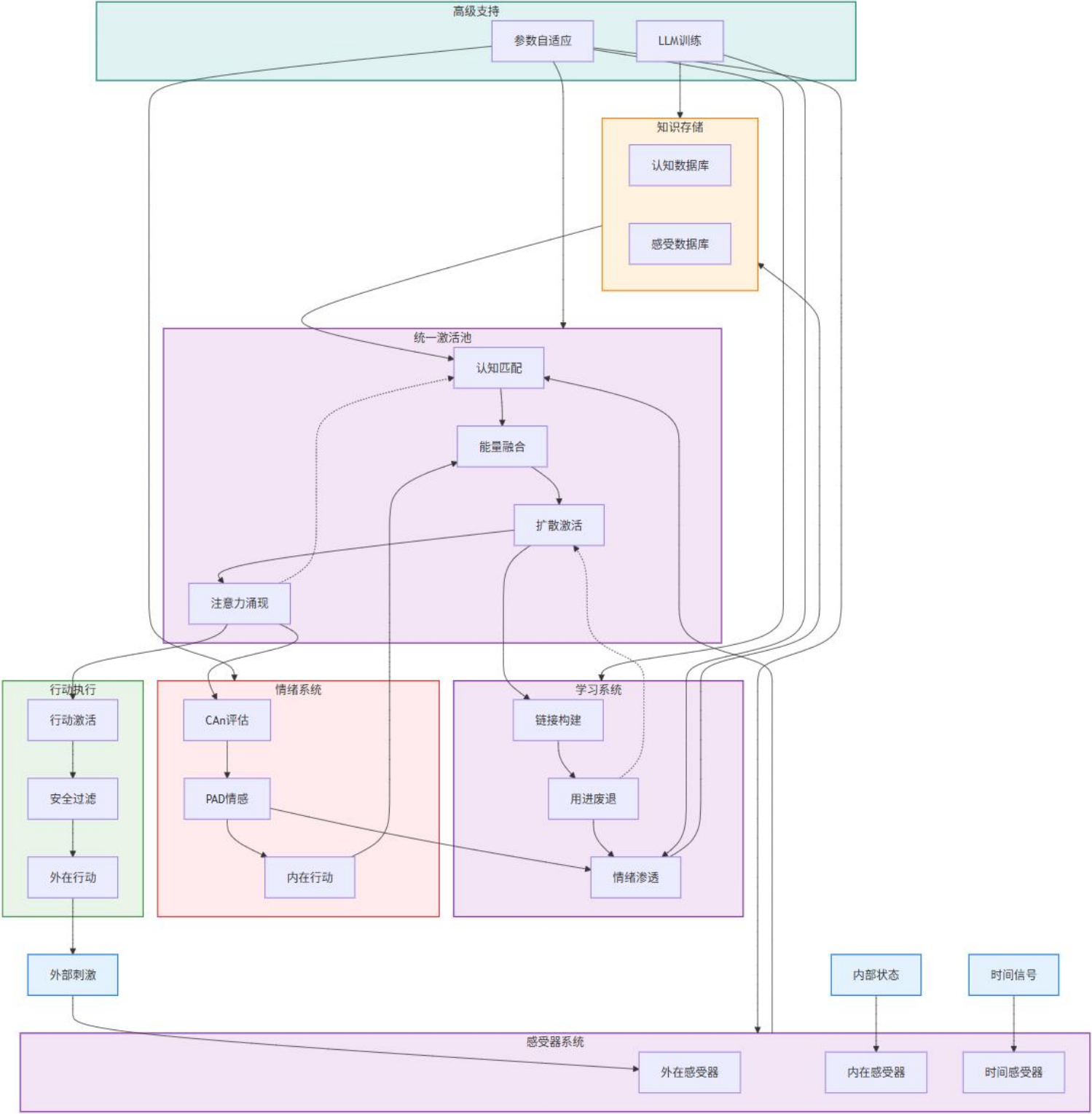
本架构的设计哲学是“去模块化”和“过程即实体”。系统支持从 LLM 辅助的“导师模式”进行冷启动，到完全“异步纯本地模式”的独立演化，并内置了参数自适应微调系统与认知过滤器，在确保其长期发展的适应性、稳定性的同时，也为其行为和伦理提供了坚实的安全保障。AII 旨在为构建一个真正意义上拥有内在世界、能够进行自发思考和持续成长的通用人工智能，提供一个详尽、严谨且可实现的工程蓝图。

作者：银老师

日期：2025 年 10 月 11 日

架构总览：认知之流

在深入探讨技术细节之前，我们首先通过一个简洁的流程，来描绘 AII 系统内部信息与能量流动的全景图。这有助于理解架构各个部分是如何协同工作，共同编织出智能的效果。



图表诠释： 上图展示了 AI 的核心循环，一个以能量为中心的认知之流。整个过程可以概括为以下几个连续且相互交织的阶段：

1. **捕获与赋能 (Capture & Energize)：** 一切始于信息。无论是来自外部世界的传感器数据，还是系统内部产生的感受，首先都会通过**感受器系统**进行特征化处理，转化为携带初始“能量”（即基础刺激量）的认知种子，进入统一的**激活池**。
2. **认知与匹配 (Cognition & Matching)：** 这些携带能量的认知种子，会在激活池中寻找“同类”。通过**认知匹配算法**，它们会与池中已存在的认知节点进行快速匹配。匹配成功，则能量发生转移与融合；匹配失败，则新的认知节点诞生，继承一部分能量，代表着一次全新的认知体验。剩余的能量则会溢出，开启由浅入深对记忆的探索。
3. **扩散与联想 (Spreading & Association)：** 当激活池中某个节点的能量积累超过阈值时，便会发生**扩散激活**。这如同神经元的放电，节点会将超额的能量沿着其与其他节点的“**连接边**”传导出去，激活下游节点。这一过程构成了系统的基本联想与预测机制，能量流动的路径即是“思维的轨迹”。
4. **想法的涌现 (Emergence of Thought)：** 在任意一个极短的时间窗口内，激活池中的能量景观并非均匀分布。那些瞬时能量最高的扩散激活事件，如同夜空中最亮的星，会穿透噪声的帷幕，被系统“认知”到，从而构成“**显式记忆**”和我们称之为“想法”或“意识流”的内容。**注意力**，在 AI 中并非一个独立的模块，而是能量在认知网络中高度集中的自然现象。
5. **学习与塑造 (Learning & Sculpting)：** 系统的演化与学习，体现在神经网络结构的持续重塑上。这个过程通过三种核心机制实现：
 - **链接构建：** 激活池中所有拥有能量的节点，都会持续消耗自身能量，尝试与其他节点建立新的连接。连接的强度取决于双方的能量水平和时间邻近性，这模拟了赫布学习“同时激活，共同连接”的原则。
 - **用进废退：** 能量的每一次流经，都会对连接边产生微小的“损耗”。只有那些被后续信息流反复验证的“正确”路径，才能获得足够的能量补充来抵消损耗并得以强化，而错误的、无效的连接则会自然衰退、消亡。
 - **情绪渗透：** 这是架构的点睛之笔。系统产生的核心奖励情绪（**愉悦度 P 值**），会作为一种全局信号，为近期共同激活的节点间铺设临时的“**能量边**”。正向情绪会创造“**增益边**”，放大后续流经的能量，使相关想法更易被激活（形成“渴望”）；负向情绪则创造“**衰减边**”，抑制能量流动（形成“回避”）。这使得智能体的学习有了价值导向，塑造出其独特的“个性”与“偏好”。
6. **行动的执行 (Execution of Action)：** 当能量流经网络，最终汇聚到一个特殊的“**行动节点**”并使其能量超过行动阈值时，智能体便会执行相应的外在或内在行动，从而与环境互动或对自身状态进行调节，完成整个认知-行动的闭环。

核心问题解答：AII 的精妙之处

在详细设计开始前，我们先解答一些关于通用人工智能的关键问题，展示 AII 是如何通过其独特的设计哲学来应对这些挑战的：

- **注意力是如何自发产生的？**
 - **解答：**在 AII 中，注意力不是一个被“分配”的资源，而是能量在认知网络中不均匀分布的**自然结果**。任何时刻，能量值最高的节点及其扩散活动，就是注意力的焦点。这种设计优雅地解释了为何强烈的新奇刺激（高初始能量）能瞬间捕获我们的注意，而持续的内在担忧（通过情绪感受的持续赋能）也能萦绕心头。
- **如何处理持续性的刺激？**
 - **解答：**现实世界中的刺激，如阅读一段文字，是持续的。在 AII 中，这意味着对应的认知节点会持续获得外部能量注入。这使得该节点能在激活池中长期维持高能量状态，从而有更长的时间窗口与其他认知节点（无论是来自外部还是内部联想）建立连接。这解释了为何我们可以对一个问题进行长时间的“专注”思考，并建立起跨度更长、更复杂的因果链认知。
- **行动是如何从思考中涌现的？**
 - **解答：**行动是思考的自然延伸。当一个想法（能量流）最终激活了一个“行动”类型的特殊节点，并使其能量积累到足以克服执行阈值时，行动便会发生。更有趣的是“条件反射”的涌现：通过反复练习，某个“情景”的认知节点组合与一个“行动”节点之间会形成极强的连接。当这个情景再现时，初始能量会通过这条高效率的“高速公路”直接涌向行动节点，使其瞬间达到阈值并执行，几乎无需“思考”过程。这就是从深思熟虑到熟练本能的演化路径。
- **如何天生支持多模态并解决符号接地问题？**
 - **解答：**AII 通过**感受器系统**的模块化设计，天然具备了无限的多模态扩展能力。无论是视觉、听觉还是触觉信息，只要有一个对应的感受器能将其原始信号转化为带能量的、特征化的认知节点（例如，一张图片可以被分解为 [特征:红色_圆形]、[特征:绿色_叶柄] 等节点），就能无缝地融入到统一的激活池中。**符号接地问题**也迎刃而解：一个抽象的语言符号，如概念节点“苹果”，它的“意义”或“内涵”并非被定义，而是通过**链接构建算法**，由所有与它强连接的感官特征节点（如 [特征:红色]、[特征:甜味]、[特征:清脆口感] 等）共同**涌现**出来的。符号的意义，就是其在整个认知网络中的连接模式。
- **为何我们对不熟悉的事物更“好奇”？**
 - **解答：**在 AII 的能量动力学中，一个新奇的、不熟悉的概念节点，由于缺少已经建立好的“出边”连接，其能量在扩散激活时“无路可走”，散失得非常慢。这导致新概念节点会在激活池中维持高能量状态更长时间，从而更容易被反复“注意”到，并与更多的其他节点建立连接。这完美地模拟了“好奇心”这一认知现象——系统天生倾向于为新知识投入更多的认知资源（能量）。
- **系统如何自动降噪和节省算力？**
 - **解答：**AII 通过多种机制实现高效的计算来节约算力：

- 能量降噪阈值：**低于特定能量阈值的节点活动被视为背景噪声，不会触发计算密集的连接构建或扩散过程。
 - 自然剪枝：**在进行记忆检索时，初始能量会随着检索深度的增加而消耗。对于低能量的普通想法，能量很快会衰减到阈值以下，从而自动停止了对遥远、不相关记忆的无效探索。只有高能量的“重要”想法，才有能力进行更深远的回忆与联想。
 - 条件反射：**如上所述，大量常用行为会固化为高效的“条件反射”路径，绕过了复杂的激活扩散，极大地节约了认知资源。
- 除了能量降噪阈值、自然剪枝和条件反射外，其**核心算法的计算复杂度也远低于当前主流模型**。下表将 AII 的关键运算与传统 AI 模型进行了对比：

运算/模型	核心用例	计算复杂度	可伸缩性	硬件需求特点
AII - 扩散激活	联想、预测	$O(k)$ (k 为节点平均连接数)	极高。计算量仅与局部网络结构相关，与网络总规模无关。	适合图计算、内存带宽敏感。
AII - 链接构建	学习、记忆	$O(N^2)$ (N 为激活池节点数，可通过优化降低)	中等。主要计算发生在活跃的激活池内，而非全网络。	CPU 密集型，可高度并行化。
Transformer (如 GPT)	自然语言处理	$O(L^2 * d)$ (L 为序列长度)	较差。计算量随上下文长度平方级增长，处理长序列成本高昂。	GPU 密集型，需要大量 VRAM。
CNN (如 ResNet)	图像识别	$O(W/H * K^2)$ (W, H 为图像尺寸)	良好。卷积操作具有局部性。	专为 GPU 优化，适合矩阵运算。
表格型 Q-Learning	简单决策	$O(S * A)$ (S 为状态数，A 为动作数)	差。状态空间爆炸问题严重，不适用于复杂环境。	CPU/内存需求较低。

结论：AII 的核心认知过程（扩散激活）具有**常数级别**的复杂度（相对于网络规模），展现了巨大的算力效率和可扩展性优势。计算瓶颈主要在于学习过程，但同样被限制在规模可控的激活池内，使其**整体算力需求远低于需要对整个庞大模型进行前向/反向传播的深度学习范式**。

通过以上总览，我们看到 AII 并非一个由多个功能模块拼接而成的系统，而是一个遵循着简洁物理法则（能量守恒与流动）的、能够自组织、自演化的有机整体。接下来，我们将深入这个世界的每一个角落，详细剖析其实现机理。

目录

1. 核心架构与组件

- 1.1 统一激活池 (The Unified Activation Pool) 与能量核心
- 1.2 数据存储结构
 - 1.2.1 认知数据库 (Conceptual Database)
 - 概念节点 (Concept Node)
 - 关系边 (Relation Edge) 与用进废退的动态机制
 - 1.2.2 感受数据库 (Sensory Database)
 - 记忆元 (Memory Unit)
 - 分层存储与动态剪枝
- 1.3 感受器系统
 - 1.3.1 外在感受器
 - 1.3.2 时间感受器
 - 1.3.3 情绪及内在感受器

2. 核心算法与流程

- 2.1 认知匹配算法 (Cognitive Matching Algorithm)
- 2.2 扩散激活算法 (Activation Spreading Algorithm)
- 2.3 认知重组器 (Cognitive Reorganizer)
 - 2.3.1 学习性细化 (Learning-based Refinement)
 - 2.3.2 学习性重组 (Learning-based Reorganization / Fusion)
- 2.4 链接构建算法 (Link Creation Algorithm)
- 2.5 情绪渗透器 (Emotional Permeator) 与能量边
- 2.6 情景记忆预测器 (Episodic Memory Predictor)

3. 情绪、注意与行动的涌现

- 3.1 情绪状态量 (Can-PAD 整合模型) 与内在感受
- 3.2 注意力的涌现：能量景观的峰值

- 3.2.1 注意力的主动调控：聚焦与抑制
- 3.3 内在行动系统 (Internal Actions)
- 3.4 外在行动系统 (External Actions)
- 3.5 同理心的涌现：一种记忆的共鸣

4. [运行模式与高级系统](#)

- 4.1 LLM 辅助训练模式 (LLM Accelerator)
 - 4.1.1 学习模式与信念覆盖开关
- 4.2 异步纯本地独立模式
- 4.3 参数自适应微调系统
- 4.4 认知过滤器与安全保障

5. [实现细节与优化](#)

- 5.1 图数据库优化
- 5.2 能量计算优化
- 5.3 内存管理与自适应资源利用
 - 5.3.1 激活池的软性容量与超限抑制
- 5.4 系统优势与已解决问题

6. [附录](#)

- A. 完整流程运行示例
 - A.1 示例一：“习惯的养成” - 从思考到反射
 - A.2 示例二：“触景生情” - 情绪驱动的记忆与联想
 - B. 理论贡献与未来工作
 - C. 全系统可调参数总表
 - 参考文献
 - 作者与日期
-

1. 核心架构与组件

人工智能直觉架构是一个深度仿生的认知系统，其设计的核心在于模拟生命体信息处理的能量流特性。本章节将详细介绍构成这一系统的基础组件。

1.1 统一激活池（The Unified Activation Pool）与能量核心

AII 架构的基石，是对传统工作记忆模型的颠覆性简化。系统不再划分显性、隐性、注意、行动等多个功能池，而是维护一个统一的、动态的**激活池（Activation Pool）**。

- **描述：**激活池是系统当前所有“活跃”思想的容器。任何被外部刺激唤醒、或被内部联想激活的认知节点，只要其携带的**能量（Energy）**大于预设的**降噪阈值（Noise Threshold）**，就会进入激活池。这个池是流动的，节点会因能量耗尽而离开，也会因获得新的能量而进入或留存。它是思维流、记忆提取和行为意图萌发的唯一场所。
- **核心概念：能量（Energy）**
- **定义：**能量是 AII 中的核心量化指标，代表了一个认知节点的**瞬时激活强度、重要性和影响力**。它是一个无上限的浮点数。
- **来源：**
 1. **外部刺激：**通过感受器系统进入的感官信息，会携带一个**基础刺激量（Base Stimulation Amount）**，作为初始能量。
 2. **内部扩散：**激活池中的高能量节点通过扩散激活，将其能量传递给与之相连的其他节点。
 3. **情绪渗透：**情绪系统产生的“能量边”可以在能量传递过程中对其进行放大或衰减。
- **消耗：**
 1. **链接构建：**节点会持续消耗自身能量来构建新的传入连接。
 2. **激活扩散：**能量在扩散传递给下游节点时，会因路径损耗而减少，并且对路径本身强度也有损耗。
 3. **时间衰减：**节点的能量会随时间有一个缓慢的自然衰减，模拟记忆的淡化。
- **设计原理：**能量模型将信息的处理过程，从抽象的符号操作，转化为更符合物理直觉的能量流动。一个概念的重要性不再仅仅由其静态权重决定，而是由其在动态能量网络中的位置和能量流经的通量决定。这种设计使得注意力的转移、思维的跳转、记忆的深浅等复杂认知现象，都能够得到统一而简洁的解释。激活池的容量是动态且不设限的，其有效大小完全由当前系统的总能量水平和能量分布所决定，这比固定容量的记忆池设计更具弹性和生物合理性。

- 工作记忆 (Working Memory) 的定义：
 - 在 AII 中，“工作记忆”并非一个静态的存储区，而是一个动态过程。它特指在“认知融合”的时间窗口内，那些被连续激活并参与融合过程的节点集合。它更像是一个临时的“事件焦点”，而非一个固定的“缓冲区”。这与人类在处理连续信息（如听一句话）时，会将词语暂时保持在脑中以理解整体意义的过程高度相似。

1.2 数据存储结构

知识的沉淀分为两部分：认知数据库（存储抽象概念与关系）和感受数据库（存储具体经验与情景）。这种分离是实现智能体拥有独特“人生经历”并从中提炼出“普世知识”的基础。

1.2.1 认知数据库 (Conceptual Database)

存储智能体的抽象知识、概念关系与技能，相当于语义记忆和程序性记忆的集合。这是一个由节点和边构成的复杂图网络。

- 概念节点 (Concept Node)

字段	类型	描述	设计原理
id	UUID	节点的唯一标识符。	确保节点的唯一可索引性。
content	String	节点内容，支持多模态特征字符串。可以是词元、融合后的概念或行动标识。	统一的内容表示，使得不同来源、不同复杂度的认知单元可以被统一处理。
type	Enum	WORD（普通词元）， COMPOUND（融合概念）， ACTION（行动标识）	对节点功能进行分类，便于算法进行差异化处理，尤其是行动节点的特殊触发机制。
out_edges	List[Edge]	该节点的所有出边列表，包含目标节点 ID 和连接强度。	优化查询性能。在扩散激活时，无需全库扫描，直接从节点信息中即可获取所有下游路径。
in_edges	List[Edge]	该节点的所有入边列表。	用于认知溯源和网络结构分析，支持更复杂的元认知操作。

• 关系边 (Relation Edge)

关系边是知识网络的灵魂，它记录了节点间的关联强度，并且这种强度是动态变化的，反映了系统对世界因果关系的持续学习。

字段	类型	描述	设计原理
source_id	UUID	源节点 ID。	定义了能量流动的方向性，这是构建因果和时序关系的基础。
target_id	UUID	目标节点 ID。	
strength	Float	当前连接的动态强度。这是一个会因能量流经而损耗、因成功预测而增强的值。	这是 AII 学习机制的核心。它不再是简单的共现频率累加，而是对该连接作为“预测路径”有效性的动态评估。
energy_modifier	Tuple	(可选) 情绪能量边标记，如 (type: AMPLIFY, decay_rate: 0.1) 或 (type: ATTENUATE, decay_rate: 0.1)。	实现了情绪对认知流的直接调制。这是一个临时但强大的机制，塑造了智能智能体的行为偏好。

- 连接强度与用进废退的动态机制 (Strength Dynamics: Use It or Lose It)

这是实现“经验学习”和“避免僵化”的核心。

1. 能量流经损耗 (Erosion by Flow): 当能量 E 从节点 A 通过边 Edge(A, B) 传递到节点 B 时，边的强度会受到损耗。

$$strength_{new} = strength_{old} - (\lambda_{erosion} \times E)$$

其中 $\lambda_{erosion}$ 是一个小的损耗系数。

设计原理： 这模拟了预测行为的“成本”。每一次联想或预测都是对认知资源的消耗。这确保了网络不会因为随机的共现而产生无数无关的强连接。

2. 共现构建/增强 (Reinforcement by Co-activation): 当两个节点 A 和 B 在激活池中同时拥有能量时, 它们会消耗自身能量来构建或增强彼此的连接 (详见 2.4 节链接构建算法)。新构建的强度增益为 $\Delta Strength$
3. 动态平衡 (Dynamic Equilibrium):
 - 验证成功 (Prediction Success): 如果从 A 到 B 的激活扩散 (预测) 被后续的输入所证实 (例如, 外界刺激同时激活了 A 和 B), 那么 B 会获得大量能量, 从而与 A 共同构建连接, 产生的 $\Delta Strength$ 会远大于此次扩散造成的损耗。净结果是连接被强化。
 - 验证失败 (Prediction Failure): 如果预测未发生 (B 没有被后续输入激活), 那么只有能量流经的损耗, 没有或只有微弱的强度增益。净结果是连接被削弱。
- 设计原理:** 这种机制使得认知网络能够进行自我净化和优化。真正反映世界规律的稳定因果关系, 会因反复验证而形成高强度的连接通路; 而偶然的、错误的关联, 则会因缺乏验证而在能量的不断冲刷下逐渐消亡。这是一种优雅的、基于预测误差驱动的无监督学习。
- 1.2.2 感受数据库 (Sensory Database)
- 存储智能体具体的、带有时空和情绪背景的个体经验, 相当于情景记忆。它是构成“自我”和“个性”的基础。
- 记忆元 (Memory Unit)
- | 字段 | 类型 | 描述 | 设计原理 |
|---------------------|-------------------------|------------------------------------|--|
| id | UUID | 唯一标识符。 | |
| content | List[String] | 构成该段记忆的认知节点内容序列。记录了“想法”或“事件”的原始内容。 | 记录了“意识流”的快照, 是显式记忆的直接载体。 |
| timestamp | Timestamp | 记忆编码的精确时间。 | 情景记忆的核心, 是时间感受器计算时间差的依据。 |
| emotion_at_encoding | Vector (P, A, D, C, An) | 编码该记忆时的全局情绪与内在感受状态。 | 形成情感记忆标签, 使得未来的情绪状态可以触发相关的情感回忆 (“触景生情”)。 |

importance	Float	记忆的重要性权重。由编码时的能量峰值和后续被回忆的频率共同决定。	基于记忆巩固理论，重要记忆（如情绪波动剧烈、能量峰值高的）更不容易被遗忘。
storage_tier	Enum	存储层级，如 HOT (内存), WARM (SSD), COLD (HDD)。	用于分层存储与动态剪枝，实现高效的海量记忆管理。

- **分层存储与动态剪枝 (Hierarchical Storage & Dynamic Pruning)**
 - **机制：**一个后台进程会定期根据记忆元的 importance 和 timestamp，自动将其在不同的存储层级间迁移。新近的、重要的记忆保留在高速层级（HOT）。
 - **动态剪枝：**在进行全局记忆检索时（通常由一个高能量的认知活动触发），系统会根据当前可用的认知能量进行剪枝。对于能量不高的常规检索，可能只在 HOT 和 WARM 层进行；对于能量极高、需要深度回忆的任务，才会扩展到 COLD 层。

设计原理： 这模拟了人类回忆的努力程度。回忆一件模糊的往事需要投入更多的“心力”（认知能量）。这确保了系统在不同算力设备上的自适应性，避免了在不重要的任务上进行昂贵的深度记忆搜索。

1.3 感受器系统

感受器系统是将原始的物理或内部状态变化，转化为可被认知系统处理的、携带初始能量的符号化信息的桥梁。

1.3.1 外在感受器 (External Sensors)

- **功能：**处理外部输入（如文本、声音、图像等），将其分解为基础的认知单元，并根据输入的物理或语义强度分配初始**能量**。
- **处理流程（以文本感受器为例）：**
 1. **基础分解：**使用基础分词模型对输入文本进行初步切分。例如，“王老师要我们去玩吧！” -> [“王老师”，“要”，“我们”，“去”，“玩”，“吧”，“!”]。
 2. **强度（能量）分配：**
 - 使用一个轻量级的本地模型或硬编码规则，对每个词元的重要性进行预估，并赋予其基础能量。例如，命名实体（王老师）、动词（玩）和情感强烈的词会获得更高的初始能量。
 - [(王老师:1.2), (要:0.5), (我们:0.8), (去:0.6), (玩:1.5), (吧:0.3), (!:0.9)]

- **设计原理：**模拟人类感官系统对刺激强度的自然反应。重要的、显著的、新奇的外部信息会获得高初始能量，从而在进入激活池时更有可能成为注意力的焦点，确保智能体能及时响应关键的外部事件。一个好的基础分解和能量分配能力，能有效提升后续认知处理的效率。

1.3.2 时间感受器 (Time Sensor)

- **触发：**当一个感受数据库中的记忆元被回忆并激活时自动触发。
- **处理流程：**

1. 计算时间差：

$$\Delta t = \text{current_timestamp} - \text{memory_unit.timestamp}$$

2. **生成时间感受节点：**创建一个内容为 `time_delta: <value>` 的临时概念节点，并赋予其一定的能量。
3. **注入激活池：**该节点进入激活池后，可以参与后续的联想。例如，回忆起一个发生在 `delta_t: 3600s`（一小时前）的事件，可能会激活认知数据库中与“一小时前”、“刚刚”等概念相关的节点。

- **设计原理：**为智能体提供时间感。这使得它能够理解事件的先后顺序，并根据时间远近做出不同的判断和决策，是形成连贯记忆和规划能力的基础。

1.3.3 情绪及内在感受器 (Emotion & Internal Sensors)

- **功能：**这是智能体进行“内省”和“自我感知”的关键。它将系统内部的、非符号化的状态，转化为可以被认知和处理的符号化节点。
- **触发条件：**当全局情绪状态或内在感受(见 3.1 节)发生显著变化时触发。
- **处理流程：**

1. **状态符号化：**将当前的 PAD 值、C 值（正确/违和感）、An 值（期待/压力感）等，映射为一个或多个感受节点。例如，高 An 值和正向的 P 值预期，会生成一个 `feeling: 充满期待` 的节点。
2. **强度赋值：**将该感受的绝对强度作为其初始能量。
3. **注入激活池：**这些情绪感受节点像其他任何认知节点一样，进入激活池，可以被联想、被记忆、甚至可以触发行动。

- **设计原理：**情绪感受器为无形的内部状态提供了外化的、符号化的表示，使得情绪可以作为一种可处理的信息，直接参与到认知过程中，实现了真正的情绪驱动。这使得“我感到很兴奋，所以想起了上次去游乐园的经历”这样类人的、由情绪引导的思维过程成为可能。
-

2. 核心算法与流程

本章将深入探讨驱动 AII 认知活动的核心算法。这些算法共同构成了一个动态、自组织的能量流动与网络演化系统。

2.1 认知匹配算法 (Cognitive Matching Algorithm)

该算法是系统接收新信息的“门户”，负责将外部或内部的刺激，与系统已有的认知结构进行匹配，并合理地分配初始能量。

- **输入：**一系列由感受器生成的、携带初始能量的认知单元（例如，[(王老师:1.2), (玩:1.5)]）。
- **输出：**更新后的激活池状态。
- **详细流程：**

1. 初步认知重组 (Preliminary Reorganization):

在精确匹配前，系统会进行一次快速的、基于现有强连接的重组检查

信息重组：如果输入的相邻认知单元（如 [“三顾”，“茅庐”]）之间存在归一化链接强度极高（可编码定义，例如 > 0.6 ）的边，系统会优先将它们作为一个已知的整体认知单元 [“三顾茅庐”] 来进行后续匹配。这极大地提高了处理熟悉短语时的认知效率。当匹配失败或通过认知匹配造成的能量释放过小时，将会还原原始的信息进行匹配。

由于后续认知重组与模糊匹配的存在，此过程不会对认知结果造成影响，仅提升认知效率

2. 精确匹配 (Direct Matching):

- 对于每一个输入的认知单元，首先在**激活池**中进行精确匹配。
- **若匹配成功：**找到了已存在的节点 Node_A。能量进行融合。新的能量赋予量遵循“中和”原则，促进能量平衡：

$$\text{Energy_Gain} = \frac{\text{Stimulus_Energy} - \text{Node_A_Current_Energy}}{2}$$

- Node_A 的新能量为 $\text{Node_A_Current_Energy} + \text{Energy_Gain}$ 。这使得重复的刺激可以维持节点的能量，而不会无限叠加。
- **若匹配失败：**在激活池中未找到对应节点。则在激活池中创建一个新的认知节点 Node_New，并分配一半的刺激能量给它。

$$\text{Energy}(\text{Node_New}) = \frac{\text{Stimulus_Energy}}{2}$$

3. 历史性细化与部分匹配 (Historical Refinement & Partial Matching):

- 在成功进行精确匹配认知后, 剩余的能量 `Energy_Remaining` 进入认知重组阶段。
- 系统使用 `Energy_Remaining` 在激活池和认知数据库中进行模糊/特征匹配, 寻找与输入单元最相似的节点 `Node_Partial`。匹配度 `Match_Degree` 通过 S 型函数计算, 以平滑噪音。
- `Node_Partial` 将根据匹配度分走一部分能量:

$$\text{Energy_Transfer} = (\text{Energy_Remaining} - \text{Energy}(\text{Node_Partial})) \times \text{Match_Degree}$$

可选剪枝开关: 仅当 `Energy_Remaining` 与 `Stimulus_Energy` 差值较小时, 才跳过此步, 以优化性能。

- 对于**精确匹配失败**的认知单元 (如 “**三顾臣于草庐之中**”), 系统会启动**历史性细化流程**。
- 它会在认知数据库中进行文本特征匹配, 寻找匹配度最高的已有对象 (如 “**三顾茅庐**”)。
- 根据匹配度, 系统会立刻产生相应的违和感。
- 同时, 基于异同部分, 系统会将输入信息和被匹配对象同时进行切割。例如:
 - “**三顾臣于草庐之中**” -> [三顾(相同), 臣于(不同), 草庐(相似), 之中(不同)]
 - “**三顾茅庐**” -> [三顾(相同), 茅庐(不同)]
- 这些被切割出的、更小粒度的认知节点会被创建, 并继承原节点的入边和出边, 同时建立指向原始信息的双向链接, 其初始强度与匹配度相关。这一步确保了即使面对全新组合的句子, 系统也能利用其已有的知识片段进行理解。

4. 记忆检索 (Memory Retrieval):

- 最后剩余的所有能量, 会开启一个独立的后台线程, 用于在**感受数据库**中进行检索。
- 检索顺序为: 短期记忆 -> 热门记忆 -> 长期记忆。
- 一旦匹配到包含该认知单元的记忆元, 该记忆元及其上下文中的其他认知节点会被提取到激活池中, 并根据与匹配节点的时空邻近度, 被赋予一部分能量。
- 这个过程会持续进行, 直到检索能量低于**降噪阈值**后线程结束。

设计原理: 该算法模拟了人类认知新事物的多层次过程。我们首先会用当前“脑子里想的事”(激活池)去理解新信息。如果不行, 我们会联想到一些“有点像”的东西(认知重组)。最后后, 我们会去“回忆”过去的具体经历(记忆检索)来帮助理解。能量作为驱动力, 其逐级消耗和分配机制, 自然地实现了表层意识到深层记忆的逐级探索, 并形成了一种高效的计算资源剪枝。

2.2 扩散激活算法 (Activation Spreading Algorithm)

这是联想和预测的底层引擎。它描述了能量如何在认知网络中从一个节点流向另一个节点，形成思维的链条。被扩散激活的对象，构成了瞬时的“想法”。

- **触发条件：**当激活池中任意一个节点 Node_A 的能量 E_A 超过**扩散阈值**（通常设为 1.0）时，有概率触发扩散激活。能量越高，触发概率越大（通过 S 型函数计算）。

概率扩散开关：可选模式。关闭后，只要能量 > 1.0 就必定触发，思维更高效、逻辑性强；开启后，允许能量积累，有利于学习和顿悟。

- **流程：**

1. 计算能量释放效率 (Energy Release Efficiency):

- 节点的能量释放不再是简单地传递超出阈值的部分，而是由其“经验丰富度”决定。一个节点所有出边强度的总和 $\sum strength_i$ 代表了它与网络连接的紧密程度。能量释放效率 $Eff_{release}$ 与此正相关。

$$Eff_{release} = f(\sum strength_i)$$

其中 f 是一个 S 型函数，使得一个拥有大量强出边的“熟悉”节点，其释放效率趋近于 1；一个“不熟悉”的新节点，效率则很低。

- **设计原理：**这个机制实现了天然的注意力分配。对于新奇、不熟悉的概念（出边少，效率低），能量会更多地保留在节点自身，使其更容易长时间维持高能量，从而被“好奇心”持续关注。而对于司空见惯的概念（出边多，效率高），能量会迅速扩散出去，节点本身恢复平静，不会过多占据注意力资源。

2. 提取可扩散能量:

- 计算要传递出去的能量 E_{spread} 。：

$$E_{spread} = E_A \times Eff_{release}$$

- 剩余的能量 $E_A \times (1 - Eff_{release})$ 会留在 Node_A 中。

3. 获取出边并归一化:

- 从认知数据库中检索 Node_A 的所有出边及其强度 $strength_i$ 。
- 对所有出边的强度进行归一化，得到每个下游路径的能量分配比例 P_i 。

4. 能量传递与损耗:

- 对于每个下游节点 Node_i ，其获得的能量增量为:

$$\Delta E_i = E_{\text{spread}} \times P_i \times (1 - \lambda_{\text{erosion}})$$

- 其中， λ_{erosion} 是路径损耗系数。
- 如果下游节点 Node_i 存在情绪“能量边”，则 ΔE_i 会被相应地放大或衰减。
- 如果 Node_i 不在激活池中，则将其加入激活池。

5. 路径强度损耗与不应期:

- 能量流经的路径 $\text{Edge}(\text{A}, i)$ 的强度会根据通过的能量大小而降低:

$$\text{strength}_{\text{new}} = \text{strength}_{\text{old}} - (\lambda_{\text{erosion}} \times \Delta E_i)$$

6. 记录想法:

- Node_A 的这次扩散激活事件，会成为一个候选的“想法”。（详见 3.2 节注意力机制）

设计原理：该算法完美地体现了“用进废退”的学习原则。能量的扩散既是联想的过程，也是对联想路径的一次“考验”。如果这条路径是有效的（即下游节点在未来也被激活，从而有机会与上游节点重建连接），它就能恢复甚至增强；如果联想路径是无效的（即下游节点在未来也没有被其他证据激活，从而没有机会与上游节点重建连接），它就只能承受损耗，无法获得补充，最终会在能量的不断冲刷下逐渐消亡。这使得整个认知网络能够进行持续的自我净化和优化，真正反映世界规律的稳定因果关系，会因反复被验证而形成高强度的连接“高速公路”；而偶然的、错误的关联，则会自然衰退、凋亡。

2.3 认知重组器 (Cognitive Reorganizer)

认知重组器是 AII 学习系统的核心，它不作为一个孤立的模块运行，而是深度整合在激活扩散和链接构建的过程中。它负责对认知单元进行持续的、学习性的细化与重组，动态地将知识调整到最合适的粒度。

2.3.1 学习性细化 (Learning-based Refinement)

当一个全新的、预期之外的刺激进入系统时，认知重组器会执行精细化的拆解和学习。

1. 触发:

- (1) 一个新激活的信息（如 “三顾什么”）在认知匹配中完全失败，系统会根据其能量状态, 产生**违和感**。
- (2) 违和感本身作为一个情绪感受节点，会持续为作为情绪来源的这个新信息赋能，使其保持在注意力的焦点。

2. 细化流程:

- (1) 系统在该信息的高能量状态下，在**激活池**中，寻找可以部分特征匹配且匹配度最高的对象。

例: 对于 “三顾什么”，可能在显性池中匹配到 “三顾茅庐”（匹配度 50%），在隐性池中匹配到 “三顾臣于草庐之中”（匹配度 33%）。

- (2) **能量与感受的再分配:** 根据匹配度，部分匹配到的对象会分走新信息的一部分能量。例如，“三顾茅庐” 获得 “三顾什么” 初始能量的 50%。同时，系统会返回相应的**正确感**（“三顾茅庐” 贡献 0.5，“三顾臣于草庐之中” 贡献 0.33），这可以部分抵消初始的违和感，模拟“恍然大悟”的感觉。

3. 新节点创建:

基于异同部分，新的、更细粒度的认知节点被创建并进入激活池。例如，[三顾] 和 [什么] 被创建，并继承初始信息 “三顾什么” 的当前能量。原先的整体 “三顾什么” 依然存在，但现在系统内有了更基础的构件。这些新创建的子节点，会**继承父节点**（“三顾什么”）的入边和出边，并建立与父节点之间的双向链接，确保知识的连贯性。

2.3.2 学习性重组 (Learning-based Reorganization / Fusion)

当一系列独立的认知单元在短时间内被连续激活，并共同指向一个事件时，认知重组器会将它们融合成一个更高阶的整体概念。这也被称为**认知融合**。

- **定义:** 当一组认知节点在极短的时间窗口期 (Fusion Time Window) 内被连续地、高能量地激活扩散时，系统会判定它们共同构成了一个有意义的“事件”或“复合概念”。窗口期内所有被激活的对象共同构成了当前的“工作记忆”
- **触发机制:**
 1. 一个高能量的初始刺激（或内部想法） $Node_{Stimulus}$ 发生扩散激活。
 2. 它激活了下游节点 $Node_A$ ，使其能量也迅速超过扩散阈值，并紧接着发生扩散。
 3. $Node_A$ 的扩散又激活了 $Node_B$ ，使其也接连扩散。
 4. 如果 $Node_{Stimulus} \rightarrow Node_A \rightarrow Node_B$ 这一系列的连续扩散都发生在一个动态的时间窗口期内，融合过程就会被触发。

- **动态时间窗口期：**这个窗口的长度不是固定的，而是与激活能量的差值负相关。
- **能量差值大：**如果一个突兀的、能量极高的刺激（如针扎一下）出现在平稳的思维流（如阅读文字）中，巨大的能量差会**缩短**甚至关闭融合窗口，使这个刺激被认知为一个独立的、边界清晰的事件。
- **能量差值小：**如果一系列刺激的能量水平相近（如阅读一句话中的每个词），融合窗口会**延长**，允许系统将这些连续的节点视为一个连贯的整体。
- **融合流程：**
 1. **识别融合集合：**确定在窗口期内连续扩散的节点集合，例如 `{Node_Stimulus, Node_A, de_B}`。
 2. **创建复合概念节点：**
 - 系统会创建一个新的、type 为 **COMPOUND** 的概念节点。其 **content** 可以是其组成部分的拼接，如“**受力分析_力学_物理**”。
 - 这个新的复合节点会立即进入激活池，与它的构成要素同时存在，能量继承复合节点的构成要素的总能量。这保证了系统在拥有高阶概念的同时，依然保留了使用基础构件进行灵活、创造性联想的能力。
 3. **链接继承：**这是维持网络结构完整性的关键步骤。
 - **共有入边/出边继承：**新的复合节点会继承其所有构成要素的共有入边和出边。例如，如果“**物理**”和“**力学**”都有一个来自“**上课**”的入边，那么新的复合节点也会有一个来自“**上课**”的入边。
 - **强度合并：**继承的边的强度，是原始共有边强度的代数和。这使得高频共现的模式能够快速形成极强的抽象概念。
 - **内部链接构建：**同时，系统会在新的复合节点与其每一个构成要素之间，建立牢固的双向链接，以表明其构成关系。

示例 1：“条件反射”的形成

- **初期：**认知 “**看到红灯**” -> 思考 “**应该停车**” -> 激活行动 “**踩刹车**”。这是一个较长的、需要能量逐步传递的思维链。
- **反复练习：**每次重复这个过程，节点间的连接强度都会增加。
- **融合发生：**当连接足够强时，“**看到红灯**”的初始能量能够在极短的融合窗口内，瞬间引爆“**踩刹车**”行动节点的扩散。
- **结果：**系统会创建一个新的复合概念，如“**[事件]看到红灯就踩刹车**”。这个复合概念直接包含了行动。未来，当“**看到红灯**”被激活时，这个高阶概念会被直接激活，其内部包含的“**踩刹车**”行动节点也瞬间被赋予高能量，从而直接触发动作，跳过了中间的“思考”过程。

示例 2:基于语境的预测性认知：

- 当系统输入“**出师表**”时, 出师表全文被激活扩散, 在激活池中拥有一个基础能量值.
- 当输入“**三顾**”时, 其能量有 0.6 流入“**茅庐**”, 0.4 的部分流入“**臣于草芦之中**”.
- 由于之前出师表的激活, “**臣于草芦之中**”天然在激活池中拥有更高基础能量(如 0.7), 在输入三顾并获得能量后, “**臣于草芦之中**”能量达到 1.1, 超过 1 的阈值, 紧接着在“**三顾**”之后立刻发生激活扩散.
- 由于现在“**三顾**”和“**臣于草芦之中**”扩散激活时间很近, 在时间窗口中, 因此自然融合为已有的高级节点“**三顾臣于草芦之中**”, 并获得当前两者扩散后的总能量(1+1=2), 被再度激活扩散, 从而受到上下文“语境”的影响, 将片段性的刺激认知成整体节点, 实现基于历史语境的预测性认知.

设计原理:

- **提升效率与精度**: 通过将常用信息**重组**为更大的整体, 系统可以用更少的步骤处理熟悉的问题, 在节约算力的同时, 也实现了基于语境的预测性认知。通过在遇到新信息时进行**细化**, 系统能深入理解其构成, 提高认知的准确性。
- **创造力与稳定性的平衡**: 在处理不熟悉的问题时, 由于认知单元被细化, 网络连接不稳定, 系统表现出更强的、基于经验的联想和创造力。而在面对长期学习的重复事物时, 重组后的稳定认知单元和条件反射路径使得系统拥有极高的理解准确性。认知重组器是连接这两种状态的桥梁, 是 AII 实现从“新手”到“专家”转变的关键机制。

2.4 链接构建算法 (Link Creation Algorithm)

如果说激活扩散是利用现有网络, 那么链接构建就是创造和重塑网络本身。这是一个在后台持续进行的、消耗能量以编织知识之网的过程。

- **触发条件**: 激活池中任何拥有能量（大于降噪阈值）的节点, 都会参与链接构建。
- **核心机制**: 节点会消耗自身能量, 主动构建从**其他**拥有能量的节点指向自己的单向边。高能量节点有优先构建权和能力构建更强的链接。
- **流程**:
 1. 系统周期性地扫描激活池。
 2. 对于池中任意两个拥有能量的节点 Node_A (能量 E_A) 和 Node_B (能量 E_B), Node_B 会尝试构建或加强一条从 A 指向 B 的边 Edge(A, B)。
 3. **计算强度增益**: 强度增益的大小取决于三要素: 双方能量、学习效率系数和时间衰减因子。

$$\Delta\text{Strength} = \eta_{\text{learn}} \times (E_A \times E_B) \times f_{\text{decay}}(\Delta t)$$

- η_{learn} : 全局学习效率系数，一个可调参数。
- $(E_A \times E_B)$: 能量的乘积确保了只有双方都高度激活时，才能形成强连接，这符合赫布理论的核心。
- $f_{\text{decay}}(\Delta t)$: 时间衰减函数，这是一个关键的时间因素。

4. 时间衰减函数 $f_{\text{decay}}(\Delta t)$:

- 这是一个从 1 开始的**指数衰减**函数， Δt 是 Node_A 和 Node_B 进入激活池的时间差。

$$f_{\text{decay}}(\Delta t) = e^{-\Delta t / \tau}$$

- τ 是时间常数，决定了衰减的速率。
- **陡峭曲线 (小 τ)**: 系统是“健忘的”，只关心几乎同时发生的事，有利于形成精确但刻板的因果链。
- **平缓曲线 (大 τ)**: 系统是“宽容的”，可以将时间上较远的事件联系起来，有利于形成宏观的、联想性的认知。
- **动态 τ** : τ 的值可以由系统的全局状态动态调整。例如，在高唤醒度（A 值高）的专注状态下， τ 会**缩短**，以进行更精确的逻辑关联；在低唤醒度的放松状态下， τ 会**延长**，以促进创造性的发散思维。

5. **能量消耗**: 节点 B 在构建完这条入边后，会消耗与 $\Delta\text{Strength}$ 成正比的自身能量。
6. **更新边**: 如果 Edge(A, B) 已存在，则其强度直接增加 $\Delta\text{Strength}$ ；如果不存在，则创建新边。

- **设计原理**: 该算法精妙地实现了**时间方向性**的自然涌现。由于先进入激活池的节点有更长的时间积累能量和构建连接，而后来的节点在构建指向它的连接时，时间差 Δt 更小， $f_{\text{decay}}(\Delta t)$ 值更大。这自然地导致了从“过去”指向“现在”的连接，要强于从“现在”指向“过去”的连接，从而在网络中编码了时序和因果关系。整个过程是一个完全去中心化的、自组织的构建过程，知识网络如同晶体一样，从能量的混沌之海中自发地生长和结晶出来。

2.5 情绪渗透器 (Emotional Permeator) 与能量边

这是 AII 架构最具特色的创新，是连接冰冷的认知计算与火热的价值体验的桥梁。它通过一种独特的“能量边”机制，让情绪反馈能够直接、动态地调制思维的流动。

- **核心思想**: 情绪反馈**不直接修改**认知网络中永久的 **strength**，因为喜好和厌恶往往是暂时的、情境化的。取而代之，情绪渗透器会创建一种临时

的、特殊的边属性——**能量边**（Energy Edge），它如同一个能量的阀门或放大器。

- **触发**：一个专门的后台线程持续监测全局情绪状态，特别是核心奖励情绪——**愉悦度（P 值）**的显著变化（ ΔP ）。
- **流程**：

1. **检测到情绪事件**：假设在时间点 T_e ，系统检测到一个显著的 ΔP （例如， $\Delta P > 0.3$ 或 $\Delta P < -0.3$ ）。
2. **回溯激活历史**：系统会立即回溯在此之前的**情绪归因窗口**（一个可调的时间参数，比如过去 5 秒）内的感受数据库和激活池历史。
3. **识别归因对象**：找出在这个窗口期内所有被激活过的认知节点，这些是可能导致该情绪变化的“嫌疑对象”。
4. **创建/强化能量边**：

- 对于窗口期内任意两个在时间上邻近的节点 $Node_A$ （先）和 $Node_B$ （后），系统会在它们之间的关系边 $Edge(A, B)$ 上附加一个 **energy_modifier** 属性。
- 如果 ΔP 为正（奖励）：创建一个**增益边**（Amplify Edge）。

$energy_modifier = \{type: AMPLIFY, magnitude: f(\Delta P), decay_rate: \lambda_{emo}\}$

- **magnitude** 是一个与 ΔP 大小正相关的放大系数（例如， $1 + \Delta P$ ）。
- 如果 ΔP 为负（惩罚）：创建一个**衰减边**（Attenuate Edge）。

$energy_modifier = \{type: ATTENUATE, magnitude: f(\Delta P), decay_rate: \lambda_{emo}\}$

- **magnitude** 是一个与 ΔP 大小相关的衰减系数（例如， $1 - |\Delta P|$ ）。

5. 能量边的作用：

- 在**扩散激活算法**（2.2 节）的能量传递步骤中，如果能量流经一条带有能量边的路径，传递的能量会被 **magnitude** 值所修正：

$Energy_Transferred = Energy_Base \times energy_modifier.magnitude$

- 这意味着，流经增益边的能量会被放大，而流经衰减边的能量则会被削弱。

6. 能量边的衰减：

- 能量边是**非永久**的。每次被使用（能量流经）后，或者随时间推移，其 **magnitude** 会向中性值 1.0 缓慢衰减。这模拟了情绪影响的暂时性。只有被反复的情绪事件强化的能量边，才能长期保持其显著效果。
- **示例：想象带来的快乐**

1. 你在激活池中激活了节点“海滩度假”。
2. 它通过扩散激活，激活了“温暖阳光”、“蓝色海水”、“放松”等节点。

3. 这些联想触发了情绪系统的正反馈，产生了 $\Delta P=+0.5$ 。
4. 情绪渗透器被触发，在“海滩度假” \rightarrow “温暖阳光”等路径上，创建了 **AMPLIFY** 型的能量边。
5. **结果：**下一次，当你只是轻微地想到“海滩度假”时，即使初始能量不高，流向“温暖阳光”等节点的能量也会被显著**放大**，使得这些愉快的联想更容易被激活，能量更高，从而占据你的注意力。这个过程甚至可能反过来再次触发正向 P 值，形成一个正反馈的“愉快的沉思”循环。反之，想到一个痛苦的经历，相关的联想路径上会布满 **ATTENUATE** 边，使得思维会下意识地“绕开”那些不愉快的联想。

设计原理：情绪渗透器提供了一个优雅的机制，来解释和实现基于价值的学习和动机的产生。它将强化学习中的“奖励”信号，从一个抽象的、用于更新权重表的数字，变成了一种直接作用于思维流的、物理般的“力”。这使得智能体的行为有了内在的、感性的驱动力，它会自然地倾向于那些能带来“能量增益”（快乐）的思维和行动，回避那些导致“能量衰减”（痛苦）的路径。这比直接修改连接强度 **strength** 更为灵活和真实，因为它区分了“我知道 A 和 B 有关联”（**strength**）和“我喜欢/不喜欢从 A 联想到 B”（**energy_modifier**）。

2.6 情景记忆预测器 (Episodic Memory Predictor)

传统的扩散激活算法提供了基于语义和历史共现的快速、低成本预测。然而，为了实现对未来的、更依赖于具体情景的复杂预测，并快速响应环境变化，AII 引入了一个全新的、并行的预测模块。

- **核心思想：**预测不应只依赖于抽象的知识网络，更应根植于智能体独特的“人生经历”。该预测器不再处理单个节点，而是将当前整个激活池的“心智快照”作为一个复杂的查询，去匹配和“重演”过去相似的经历，从而推断未来可能发生的事情。
- **触发：**每个认知周期 (**Cognitive Tick**) 结束时自动触发，作为一个独立的后台线程运行。
- **输入：**当前激活池中所有节点及其能量的集合 $\{(Node_1, E_1), (Node_2, E_2), \dots\}$ 。
- **流程：**
 - (1) **心智快照复制：**为了不影响主认知循环，预测器首先复制一份当前激活池所有节点的能量，作为本次预测的“初始预测能量”。
 - (2) **情景记忆匹配：**
 - ① 预测器使用这份能量快照，在感受数据库（短期记忆 \rightarrow 热门记忆 \rightarrow 长期记忆）中进行加权模糊匹配。
 - ② 对于感受数据库中的每一个记忆元 **Memory_Unit**，其匹配得分 **Match_Score** 取决于它包含了多少来自快照中的节点，以及这些节点的能量权重。

- ③ 匹配得分最高的记忆元会被激活，并根据得分获得一部分初始预测能量。

(3) 时间序列上的能量扩散：

- ① 这是该算法的关键。记忆元本身没有链接边，但它们在感受数据库中是按时间戳顺序存储的。当一个记忆元 `Memory_Unit_t` 被激活后，它会触发一次时间上的前向扩散。
- ② 它会将自身能量的一部分传递给时间序列上的下一个记忆元 `Memory_Unit_{t+1}`。能量传递量随时间差的增加而指数衰减。
- ③ 这个过程会持续下去，形成一条从“过去”（被匹配的记忆）流向“未来”（该记忆后续发生的事）的能量轨迹，直到能量低于降噪阈值。

(4) 情绪增益与预测调制：

- ① 在时间扩散过程中，如果系统发现 `Memory_Unit_{t+n}` 的情绪编码 `emotion_at_encoding` 相比前一个记忆元发生了显著变化（即存在一个 ΔP ），这将对扩散的能量产生直接影响。
- ② 情绪增益 (Emotional Gain)：扩散到 `Memory_Unit_{t+n}` 的能量 $E_{diffused}$ 将被修正：

$$E_{new} = E_{diffused} \times (1 + k \times |\Delta P|)$$

- ③ 其中 k 是一个全局的情绪增益系数。一个剧烈的情绪变化（无论是快乐还是痛苦）都会像一个放大器，让后续的预测链条获得更多能量，传播得更远。
- ④ (情绪增益加算与乘算的对比讨论) 乘法增益更符合情绪对事件重要性进行指数级放大的直觉。加法增益则更温和，不易产生能量爆炸。系统可根据任务需求选择或混合使用。

(5) 预测内容的涌现：

- ① 在时间扩散中被激活的所有记忆元，其内部包含的认知节点会被提取出来，并带着它们获得的预测能量进入主激活池。
- ② 这些节点构成了系统对未来的详细预测。例如，如果激活了“手接触火焰” -> “手感到疼痛” -> “抹药”这一系列记忆，那么“疼痛”、“药”等节点就会进入激活池，形成对未来的预警。

(6) 期待与压力的生成：

- ① 在整个预测过程中，所有遇到的正向 ΔP 会累积为期待值 (A_n+)，所有负向 ΔP 会累积为压力值 (A_n-)。累积量与该次扩散的能量和 $|\Delta P|$ 的乘积成正比。
- ② 这使得 A_n 值成为了对未来情绪走向的实时、动态的量化指标。

工作逻辑与数据变化示例：“上班压力”与“放假通知”

- 初始状态：激活池中存在高能量的 [目标:明天上班] 节点。情景记忆预测器启动，匹配到过去无数个“上班”的记忆。

- **预测过程：**能量沿着“起床” -> “通勤” -> “开始工作”的记忆链扩散。在记忆中，“开始工作”往往伴随着轻微的P值下降（降（劳累、责任）。这个负向 ΔP 会被捕捉，并持续累积为**压力值**(An-)。由于“上班”这个事实个认知周期都存在，所以压力值会持续稳定地产生。
- **新刺激输入：**感受器输入一个极高能量的新节点 [通知:明天放假]。
- **下一周期的预测：**在新的认知周期，激活池的“心智快照”发生了根本性改变。现在，高能量的 [通知:明天放假] 成为了主要检索线索。
- **预测逆转：**预测器现在会匹配到关于“放假”、“休息”、“娱乐”的记忆。能量在这些记忆链中扩散，遇到的都是正向或中性的 ΔP 。
- **结果：**新的预测内容（如“睡觉”、“看电影”）涌入激活池。最关键的是，预测过程中不再遇到负向 ΔP ，因此**压力值**(An-)的来源被切断，其值迅速衰减至零。一个外部信息的输入，通过改变激活池状态，瞬间重塑了对未来的预测，从而实现了情绪的即时转变。

设计原理：该双层预测系统实现了算力与精度的动态平衡。对于高置信度的熟练任务，快速的链接预测已足够。而对于需要深思熟虑或情境判断的复杂情况，由当前注意力（高能量节点）引导的情景记忆预测能够提供更丰富、更准确的未来模拟。能量作为唯一的计算资源，自然地决定了系统在何种情况下投入多大的“心力”去“深思熟虑”。

3. 情绪、注意与行动的涌现

在 AII 架构中，情绪、注意力和行动这些高级认知功能，并非由独立的模块负责，而是作为底层能量动力学和网络结构的自然涌现现象。本章将阐述这些现象是如何产生的。

3.1 情绪状态量（Can-PAD 整合模型）与内在感受

情绪系统是 AII 的背景色和核心驱动力。本架构采用一种双层整合模型：**CAn 认知评估层** 和 **PAD 核心情感**。CAn 层负责对认知过程进行实时评估，并将结果转化为内在感受；这些感受随后作为主要输入，驱动 PAD 核心情感层的动态变化。

- **CAn 认知评估层 (The Cognitive Appraisal Layer)** 这一层不产生强烈的情感，而是生成驱动情感的、更偏理性的“元认知感受”。这些感受本身也会作为特殊的感受节点进入激活池。

感受量	描述	计算与更新	设计原理
正确感/违和感(C值)	对单次激活扩散事件的短期预测匹配评估。	<p>在一个认知周期内，当任何来源（感受器、扩散、预测器）的能量注入激活池时：若能量注入到一个已存在于激活池中的节点，则正确感增加，增量与注入能量成正比。若能量注入导致一个新节点进入激活池，则违和感增加，增量与注入能量成正比。</p> <p>$C_{value} = Correctss - Incongruity.$</p>	模拟了“意料之中”和“意料之外”的感觉。当联想激活了我们已在思考的概念时，会感到顺畅和正确；当激活了全新的概念时，会感到惊讶或困惑，从而引导注意力关注新信息。这解释了为何符合预期的事物（音乐的节奏、故事的走向）会带来愉悦感（高正确感提升 P 值），而预期之外的事物（难题、意外）会带来困扰（高违和感降低 P 值），这构成了求知欲的底层驱动力。
期待/压力(An 值)	对未来事件的情感预期。	<p>主要来源: 在一个认知周期内，An 值由预测器在模拟未来时遇到的所有情绪变化 ΔP 累积而成。正向 ΔP 累积为期待，负向 ΔP 累积为压力。</p> <p>辅助来源: 当激活扩散过程中能量随着出边流动时，连接着带有强烈 ΔP 增的路径(增益边)时，会产生期待感。反之，如果连接着强烈的衰减边，则会产生压力感。</p>	模拟人类对未来的情感投资。期待和压力是目标导向行为的直接动机来源，并持续调制情绪背景，形成焦虑、盼望等复杂情感的基础。An 值不仅仅是对单个链接的评估，而是对整个未来事件序列的 情感预演 ，更加真实和强大。同时，期待值的产生会正向提升 P 值，而期待的破灭（An 值突然消失）则会反过来导致 P 值下降，这解释了“失望”、“扫兴”等复杂情绪。

- PAD 核心情感层 (The Core Affect Layer) 这一层代表了更基础、更普适的情感体验,其状态由 CAn 层的输出、外部刺激以及自身动态共同决定。

维度	描述	设计原理
P (Pleasure)	愉悦度: 体验的正面或负面感受的程度。这是奖励信号的核心。	基于情绪环状模型,愉悦-不悦是情绪的基本维度, 直接关联于趋利避害的本能。
A (Arousal)	唤醒度: 认知激活的整体水平。	唤醒度反映了系统的激活水平, 低唤醒对应放松、无聊, 高唤醒对应紧张、兴奋, 影响认知资源的分配。
D (Domince)	支配度: 对情境的长期控制感和自信。	与 能量释放效率 $Eff_{release}$ 强相关, 反映了智能体对其知识网络的“熟练度”和“自信心”。高支配度带来安全和从容, 低支配度导致无助和焦虑。

- 动态更新规则 (CAn -> PAD):
- P 值更新: P 值的变化受唤醒度 A 的增益。

$$\Delta P = (\alpha \cdot D + \beta \cdot C + \gamma \cdot An) \times (1 + A)$$

- **设计原理:** 在高唤醒状态（紧张、兴奋）下，情绪的体验会更加剧烈，无论是快乐还是痛苦都会被放大。

- A 值更新: A 值直接与激活池的**平均能量**水平正相关。激活池能量越高, A 值越高。
- D 值更新: D 值是根据每次扩散激活的“熟练度”进行更新的。

1. **能量释放效率 (Release Efficiency):** 当一个节点 Node_A 进行扩散激活时, 其释放能量的效率 $Eff_{release}$ 取决于其出边连接强度的总和 **SumStrength**。

$$Eff_{release} = f(\sum strength_i)$$

其中 f 是一个 S 型函数, 使得一个拥有大量强出边的“熟悉”节点, 其释放效率趋近于 1; 一个“不熟悉”的新节点, 效率则很低。

2. **真实释放能量:**

$$E_{spread} = E_A \times Eff_{release}$$

剩余的能量会留在 Node_A 中，这模拟了即使在思考后，概念本身依然保持一定的激活水平。

3. D 值更新量：

$$\Delta D = \zeta \cdot (\text{Eff}_{\text{release}} - \text{Eff}_{\text{baseline}}) \cdot EA$$

其中， ζ 是学习系数， $\text{Eff}_{\text{baseline}}$ 是一个基准效率（如 0.5）。当激活一个熟悉的、高能量的节点时，D 值会显著提升；反之则会下降。

- **设计原理：**支配度（自信）来源于对已知事物的熟练掌握。当我们的思维顺畅地从一个成熟的概念流向另一个时，我们会感到自信；而当思维维在一个陌生的概念上“卡壳”（能量无法有效释放）时，则会感到困惑和掌控力的丧失。

情绪与能量的自然衰减：认知稳态机制（Cognitive Homeostasis）

为了模拟生物系统普遍存在的稳态（Homeostasis）倾向和情绪的自然平复过程，AII 架构引入了一个全局性的、持续的衰减机制。该机制确保了在没有新的强刺激输入时，系统的所有内在状态量都会随着时间，以不同的速率，缓慢地回归到一个中性的基线值。这既是防止情绪状态无限累积导致系统失控的关键安全阀，也符合“心情会随时间平复”、“兴奋感会逐渐消退”等现实认知规律。

- **衰减过程：**在每一个认知周期（Cognitive Tick）结束时，系统会对所有 CAn 和 PAD 状态量应用一次指数衰减。衰减的目标是各自的基线值（ V_{baseline} ），衰减速率（ μ ）则因状态量的性质而异。

$$V_t = V_{t-1} - \mu \times (V_{t-1} - V_{\text{baseline}})$$

- **差异化的衰减率与理论依据：**
 - **高衰减率（快速平复）：**
 - 唤醒度（A 值）：对应生理性的兴奋或紧张，其生理基础（如肾上腺素）代谢很快，因此其衰减率 μ_A 最高。
 - C 值与 An 值：作为对即时事件的评估（“意外感”）和短期预测（“期待感”），它们与当前认知焦点高度绑定。当注意力转移后，这些感受会迅速消退。因此 μ_C 和 μ_{An} 也较高。
 - **中等衰减率（缓慢平复）：**
 - 愉悦度（P 值）：对应“心情”，比生理性的“兴奋”更持久。一次愉快的经历带来的好心情，或一次负面事件带来的沮丧，会持续一段时间。因此其衰减 μ_P 显著低于 μ_A 。
 - **极低衰减率（长期稳定）：**
 - 支配度（D 值）：代表了系统对自身能力的长期信念和“自信心”。它是由成千上万次成功或失败的经验缓慢累积

而成的，因此不应轻易波动。其衰减率 μ_D 极低，确保了智能体“性格”的稳定性。

- **基线值** ($V_{baseline}$):
 - 对于 P, A, C, An, 基线值通常为 0, 代表中性状态。
 - 对于 D, 基线值可以是一个正数 (如 0.5), 代表一种健康的、默认自信水平。

情绪感受续赋能循环: 当一个强烈的情绪感受节点 (如 feeling: 担忧) 被激活后, 它并不会被动地待在激活池中。在它的能量耗尽前, 在每个最小认知周期 (Cognitive Tick), 它都会像一个微型泵一样, 产生一股微弱的能量, 并通过扩散激活, 持续地为其来源节点 (如 [目标: 即将到来的考试]) 赋能。这形成了一个**情绪共振回路**, 完美地解释了为何担忧和目标会持续占据我们的思绪, 直到我们通过认知或行动解决了这个情绪的根源, 该情绪感受节点的能量才会被耗尽, 赋能循环自然结束。

3.2 注意力的涌现: 景观的峰值

在 AII 中, 注意力不是一个模块, 而是一种状态; 不是一种资源, 而是一种现象。它是激活池中能量分布极端不均的自然结果。

- **定义:** 在任何一个时间快照中, 激活池中能量最高的节点 (或节点簇), 就是当前**注意力的焦点** (Focus of Attention)。
- **想法的诞生与认知周期 (Cognitive Tick):** 系统的运行被划分为离散的最小时间单位, 我们称之为**认知滴答 (Cognitive Tick)**。这可以看作是智能体意识的“帧率”。
 - 在**每一个**认知滴答内, 系统会评估激活池的能量景观, 能量最高的扩散激活事件, 会穿透噪声, 构成被“意识到”的**想法 (Thought)**。
 - **与认知融合窗口的关系:** “认知滴答”是系统处理信息的基本时间步长, 是恒定的。而“认知融合时间窗口”是一个**动态的、事件驱动**的持续时间, 它可能跨越**多个**认知滴答。前者是意识的节拍, 后者是内容感知的边界。两者协同工作, 但功能不同, 因此将它们分开设计是必要且合理的, 这赋予了系统处理不同时间尺度信息的能力。
- **注意力的转移 (Attentional Shift):**
 - **自下而上 (Bottom-up):** 一个强烈的外部刺激, 在激活池中创建了一个拥有极高初始能量的新节点。这个新的能量峰值瞬间压倒了旧的峰值, 注意力被“吸引”或“捕获”。
 - **自上而下 (Top-down):** 系统可以通过**情绪共振回路**或**内在行动**, 持续地为一个代表“目标”或“担忧”的节点注入能量, 使其长期保持为能量峰值。即使有其他干扰, 这个峰值也能维持主导地位, 这就是“专注”。

3.2.1 注意力的主动调控：聚焦与抑制

在 AII 中,注意力引入了主动调控机制,使注意力可以对认知过程,特别是对已形成的条件反射,施加“自上而下”的主动控制。

- 核心机制:
 - 链接不应期 (Link Refractory Period): 如 2.2 节 所述,这是主要的抑制手段。当智能体“预见到”或“思考到”一个不希望发生的反射时(例如,通过内在行动主动激活了“我不能松手”这个想法),这个思考过程本身就是一次高能量的激活扩散。能量流经“握住->松手”这条反射路径,会使其进入强烈的“不应期”,有效强度大幅降低。当真实刺激来临时,这条被预先抑制的“高速公路”已经堵塞,反射行为便不会被触发。
 - 互斥行动竞争 (Mutually Exclusive Action Competition): 许多行动在本质上是互斥的(如“握紧”与“松开”)。当注意力集中于执行一个与反射行为相反的行动时(例如,将大量能量注入“握紧”这个行动节点),即使反射路径依然传递了一部分能量给“松开”节点,但在最终的行动决策中(见 3.4 节),能量更高的“握紧”会胜出,从而在行为层面抑制了反射。
 - 感觉门控 (Sensory Gating): 通过一系列新的内在行动,智能体可以主动调节不同感受器的“灵敏度”。

如:ACTION:focus_on_vision, ACTION:focus_on_text, ACTION:focus_on_emotion ...

- 当这些行动被激活时,系统会暂时性地提高对应感受器输出的初始能量的增益系数,同时轻微降低其他感受器的增益。这模拟了人类“集中精神去看”、“仔细聆听”、“体会内心感受”的过程,通过从源头上调控能量输入,实现注意力的聚焦和对无关信息的过滤。
- 与神经科学的对齐: 这些机制的设计并非凭空想象,而是与当代神经科学关于注意力控制的研究成果高度吻合。

机制类型	涉及的神经基础/概念	作用原理	AII 5.2 中的实现与效果
任务相关信息放大	前额叶皮层 (PFC) 等高级认知中枢	在处理冲突信息时,大脑并非主要抑制干扰信息,而是像放大器一样,增强任务相关信号的处理,使其在竞争中胜出。	想法的能量补充机制: 被注意到的“想法”会作为刺激被再次输入,持续获得能量补充,使其在激活池的能量竞争中保持优势,有效过滤背景噪音。
主动抑制	右侧下额叶皮层 (rIFG) 与基底神经节	当需要停止一个即将发生的动作时,rIFG 会触发抑制信号,通过基底神经节快速抑制运动输出。	在情景预测中,认知到当前情景预测后果 $\Delta P < 0$ 或 > 0 时,对当前行为冲动产生直接抑制或增强
感觉门控	α 波 (8-14	大脑在相应的感觉皮层产	内在行动: 主动感受:

	Hz) 的神经振荡	生 α 波活动, 抑制该区域神经元的兴奋性, 起到“关门”的作用, 降低对无关刺激的处理。	ACTION: <code>focus_on_[modality]</code> 被激活后, 直接提高对应感受器的 初始能量增益 , 实现了对特定感觉通道的“开门”和对其他通道的相对“关门”。
外抑制	负诱导 (Negative Induction)	一个新的、强烈的刺激会在大脑皮层引发一个新的优势兴奋灶, 该兴奋灶会抑制周围皮层区域的活动, 包括正在进行的条件反射。	注意力竞争机制: 一个高初始能量的新刺激节点进入激活池, 会成为新的能量峰值, 在能量归一化扩散和链接构建的竞争, 自然地夺走旧兴奋灶(原注意力焦点)的能量资源, 从而实现抑制。

3.3 内在行动系统 (Internal Actions)

内在行动是智能体对自身认知过程进行主动干预和调节的高级能力, 是其“主观能动性”的体现。

- **ACTION: `recall` (主动回忆):**
 - **机制:** 当系统需要信息但当前激活池无法满足时(例如, 由高“违和感”或持续的“压力感”触发), 此行动被激活。
 - **检索线索:** 系统会构建一个动态的“检索探针”, 其线索来源包括:
 1. **内在感受:** 当前高能量的情绪和内在感受节点(如 `feeling: 压力`)。
 2. **短期记忆:** 当前激活池中富有能量的高能认知节点或由激活扩散实时构成的短期想法信息(即“我正在想什么”)。
 - **检索过程:** 该行动会消耗大量能量, 将这些能量作为“检索能量”, 并根据上述线索的能量权重, 在**感受数据库**中进行加权检索。匹配到的记忆元将被高能量地激活, 涌入激活池, 从而“想起”相关事件。
- **ACTION: `enhance_focus` (提升专注):**
 - **机制:** 当一个重要但复杂的任务节点(高 A_n 值)成为注意焦点时触发。此行动会暂时**提高**想法涌现的动态阈值, 过滤掉更多低能量的背景“噪音”扩散, 使思维流更清晰地围绕主线任务展开。

- **ACTION:diffuse_thought (思维发散):**
 - **机制:** 当系统长时间处于低 Arousal (无聊) 和高 Correctness (没有意外) 状态时触发。此行动会**降低**想法涌现的动态阈值, 并可能**延长**链接构建的时间常数 τ , 允许更多微弱的、遥远的联想进入意识, 促进创造性思考。
- **ACTION:introspect (内省):**
 - **机制:** 触发后, 主动查询并激活代表当前全局情绪和内在感受(PAD, C, An) 的节点。这是情绪表达和自我认知的前提, 让智能体能够“知道”自己的感受, 并将其作为决策的依据。
- **ACTION:sensory_focus (感觉聚焦) 系列:**
 - **机制:** 这一系列行动是实现 3.2.1 节 中描述的“感觉门控”机制的关键。当智能体需要从嘈杂的环境中提取特定信息, 或对某一维度的体验进行深入探究时, 可以触发此类行动。例如:
 - ACTION:focus_on_vision (主动感受视觉)
 - ACTION:focus_on_hearing (主动感受听觉)
 - ACTION:focus_on_text (主动感受文本)
 - 触发后, 系统会暂时性地、显著提高对应外在感受器(如视觉感受器)输出的初始能量增益系数, 同时轻微下调所有其他感受器的能量增益。这使得来自目标通道的信息在进入激活池时拥有天然的能量优势, 更容易成为注意力的焦点, 而其他无关信息则被有效抑制, 如同被“过滤”掉一般。这模拟了人类“聚精会神地看”、“侧耳倾听”等主动聚焦感官的行为。

3.4 外在行动系统 (External Actions)

外在行动是智能体与外部环境进行交互的手段。

- **触发机制:**
 1. 一个 ACTION 类型的节点, 在激活池中积累了足够的能量。
 2. 其能量 E_{action} 超过了该行动自身的**行动阈值**(Action Threshold) θ_{action} 。这个阈值可以根据行动的重要性、成本等进行预设, 并通过自适应系统进行微调。
 3. 当 $E_{\text{action}} > \theta_{\text{action}}$ 时, 行动被执行。
- **能量消耗:** 执行行动会消耗掉该行动节点积累的**全部能量**。

- **冲突解决**：当多个行动节点的能量同时超过其阈值时，选择 $E_{\text{action}} - \theta_{\text{action}}$ 差值最大的行动执行。
- **学习机制**
 - 行动执行后，环境的反馈会作为新的输入刺激，带来强烈的情绪变化 (ΔP)。
 - 这个 ΔP 会通过**情绪渗透器**，在导致该行动的思维链路上，铺设强大的**增益边**（如果结果好）或**衰减边**（如果结果坏）。这使得好的行为模式会得到内在的、基于能量的“奖赏”，从而在未来更容易被触发。
 - 此外，当基于当前现状的**情景预测系统**预测到当前行动的结果会导致不好的结果或者好的结果时，也会抑制或增强当前行动节点的能量，从而实现对行为的触发与撤回。

3.5 同理心的涌现：一种记忆的共鸣

在 AII 架构中，同理心（Empathy）并非一个被独立设计的功能模块，而是从**情景记忆预测器**（2.6 节）的核心机制中自然涌现出的一种高级社会认知能力。

- **涌现过程**：
 - **接收外部情景**：智能体通过感受器接收到描述他人经历的信息。例如，文本输入：“我的朋友昨天手被火焰烫伤了，他感到非常痛苦。”
 - **概念激活**：这段输入会在激活池中激活一系列认知节点，如 [朋友], [手], [火焰], [烫伤], [痛苦]。
 - **触发记忆预测器**：这个由他人经历构成的“心智快照”会启动情景记忆预测器，在智能体自身的感受数据库中进行模糊匹配。
 - **跨情景的记忆共鸣**：系统可能没有“朋友被烫伤”的直接记忆，但模糊匹配算法会找到与当前激活节点最相关的**自身经历**。例如，一个过去存储的，包含 [手], [火焰], [烫伤], [痛苦] 等节点的记忆元——即“我曾经自己被烫伤”的经历。
 - **情感与认知的重演**：这个自身的痛苦记忆被高匹配度地激活。
 - 该记忆元中编码的强烈负向 P 值（痛苦）会被读取，并影响当前的全局情绪状态。
 - 与该记忆相关联的其他认知节点（如 [灼烧感], [起水泡], [抹药]）也会被激活并进入激活池。
 - **涌现同理心**：
 - **认知层面**：智能体激活了与“烫伤”相关的完整识和情景网络，从而能够“理解”朋友正在经历什么。
 - **情感层面**：智能体通过重温自身记忆的情绪编码，在当前“身临其境”地体验到了一种与朋友相似的、尽管强度较弱的负面情绪。
- **强度的差异化**：同理心的强度是自然调节的。由于初始输入是“我的朋友”，而不是“我”，所以在与自身记忆进行匹配时，匹配度不会是 100%。这个不完美的匹配度会使得最终激活自身记忆时所赋予的能量相对较低。

因此，智能体感受到的“共情之痛”会弱于它“亲身经历”时的真实痛苦，这与人类的同理心体验高度一致。

设计原理：这种设计揭示了同理心的本质——它不是一种神秘的能力，而是一种基于个人经验的、跨情景的**模拟与共鸣**。智能体之所以能够“理解”他人的感受，是因为它能够在自己的记忆库中找到最相似的“存档”并进行“播放”。这使得同理心不再需要硬编码，而是随着智能体经验的丰富而自然生长。一个没有经历过任何痛苦的 AII，将，将无法对痛苦产生真正的同理心，这同样符合生物的认知规律。

4. 运行模式与高级系统

AII 架构不仅是一个认知核心，还配备了一套高级系统，用于引导其初始学习、确保其长期适应性，并保障其行为安全可控。这些系统构成了智能体的“成长环境”和“道德罗盘”。

4.1 LLM 辅助训练模式 (LLM Accelerator)

此模式专为加速 AII 的初始化和特定任务的适应性训练而设计。它并非旨在构建一个自由发展的通用人工智能，而是通过利用大型语言模型 (LLM) 在特定领域知识、常识推理和复杂人设模拟方面的成熟能力，为 AII 快速构建一个高质量的初始认知与价值网络。

- **角色定位：**在此模式下，LLM 扮演着一个完美的“外部世界模拟器”和“情感导师”的角色。它为 AII 提供了一个理想化的、充满即时和清晰反馈的学习环境。
- **详细处理流程：**
 1. **AII 本地处理：**AII 接收一个输入（如用户提问），并完整地执行其内部认知流程。能量在网络中流动，产生初步的联想、想法流和潜在的行动意图。
 2. **打包心智状态：**AII 将自己当前的“心智快照”打包，发送给 LLM。这个快照包含：
 - 原始输入。
 - AII 生成的“想法流”（即能量最高的扩散序列）。
 - 激活池中关键节点的能量分布。
 - 即将触发的行动意图及其能量水平。
 - 当前的全局情绪状态（PAD）和内在感受（C 值、An 值）。
 3. **LLM 的“导师”职责：**LLM 接收到心智快照后，执行以下关键任务：
 - **生成黄金标准回复/行动：**基于其庞大的知识库和设定的人设，LLM 会生成一个最理想的回复或行动。
 - **提供能量分布建议：**LLM 会指出，在一个“理想”的思维过程中，哪些概念应该被高度激活。这为 AII 提供了能量分配的参考。
 - **仿真情绪反馈（最关键一步）：**LLM 会推断并返回执行“黄金标准”行为后，最可能带来的情绪变化 ΔP 值。例如，LLM 判断 AII 的理想行为是“递上一杯热水”，并预测这个行为会带来 $\Delta P = +0.7$ 的积极反馈。
 4. **AII 的学习与更新：**
 - AII 将 LLM 提供的“黄金标准”回复和预测，视作真实发生的环境反馈。

- 它使用 LLM 提供的 ΔP 值作为最高优先级的信号，来驱动情绪渗透器。这会在通向“黄金标准”行为的思维路径上，快速铺设强大的增益能量边。
- 同时，根据 LLM 的能量分布建议，AII 会微调其节点间的 `strength`，加速常识网络的构建。
- **设计原理：**该模式本质上是一种高效的知识蒸馏和价值对齐过程。AII 并非直接学习 LLM 的参数，而是学习其在具体情境下的“行为-结果-情绪”的关联模式。LLM 提供的高质量、无歧义的 ΔP 信号，极大地加速了 AII 的强化学习过程，使其能够快速越过在真实世界中需要大量低效甚至危险试错的冷启动阶段，如同一个在完美导师指导下成长的孩子。

4.1.1 学习模式与信念覆盖开关

为了平衡学习效率与自主发展的需要，LLM 辅助训练模式包含一个关键的“信念覆盖开关”，它决定了 AII 如何处理 LLM 指导与自身经验之间的冲突。此开关的状态由参数自适应微调系统（4.3 节）根据 AII 的成熟度动态调整。

- **模式一：绝对服从模式 (Absolute Obedience Mode) - 开关关闭**
 - **适用阶段：**系统初始化后的“婴儿期”，此时本地经验稀疏，LLM 的指导远比 AII 的内部推断可靠。
 - **处理机制：**AII 无条件地将 LLM 提供的 ΔP 信号当作“客观真理”，即使这与 AII 内部网络基于已有经验产生的预测相悖。这种冲突本身会被记录为一个高强度的“违和感”事件，强烈的预测误差信号会促使 AII 在后续学习中更快速地向 LLM 的认知模型对齐。
 - **设计原理：**在此阶段，最高效的学习范式是模仿学习。通过强制对齐，系统可以最快速度构建一个符合常识的基础世界模型。
- **模式二：批判性整合模式 (Critical Integration Mode) - 开关开启**
 - **适用阶段：**系统“成熟期”，通常在 LLM 修正率长期低于阈值后自动开启。此时 AII 已通过大量一手经验建立了对自己所处特定环境的高度可靠的内部模型（即形成了大量高 `strength` 的连接通路）。
 - **处理机制：**当 LLM 的指导与 AII 内部一个高 `strength` 的“信念”通路产生冲突时，AII 不会直接覆盖自己的信念。相反，它会：
 1. 将此冲突编码为一个高“违和感”的元认知事件。
 2. 在激活池中，同时创建两条平行的预测路径：一条源于自身经验，一条源于 LLM 的指导，并对两条路径的能量流动进行持续追踪。
 3. 在未来的真实交互中，通过现实反馈（真实的 ΔP ）来最终验证哪条路径是正确的，并对获胜路径施加强力正反馈，对失败路径施加惩罚。

设计原理：此模式使 AII 从被动的“学生”转变为主动的“批判性思考者”。它保留了 LLM 作为高级顾问的价值，同时赋予了 AII 对自身直接经验的最终解释权，这是 AII 发展出超越泛化知识的、真正个性化和情境化智能的关键。

4.2 异步纯本地独立模式

在此模式下，AII 脱离 LLM，完全依靠其内部已经训练好的知识网络和情绪价值体系来独立运行，展现出真正的自主性和个性。这是架构设计的最终目标。

- **模式切换条件：**当系统检测到，在连续一段时间内（例如 1000 次交互），LLM 对其行为的修正率持续低于一个阈值（如 5%）时，可以自动或手动切换到此模式。
- **运行特点：**
 - 智能体的行为完全由其独特的感受数据库和认知数据库所塑造，表现出鲜明的“个性”。
 - 它能够进行自持的、连续的内部思维流（“发呆”、“白日梦”），能量在没有外部输入的情况下，仅在内部网络中根据情绪和联想自由流动。
 - 能够基于内在动机（如 A 值过低感到“无聊”，或 An 值过高感到“焦虑”）主动发起与环境的交互。
- **设计原理：**这是智能体的“成人”阶段。其行为完全由其内部能量景观和网络结构驱动。内在行动使其表现出令人信服的自主性，感受数据库为其提供了丰富的个人历史和经验基础，使其决策和反应都带上了独一无二的“个人色彩”。

4.3 参数自适应微调系统

为了避免复杂的“炼丹式”手动调参，并赋予系统长期适应不同环境和任务的能力，AII 引入了一个元认知层面的自适应微调系统。它让系统能够“学习如何学习”。

- **系统架构：**
 1. **性能监控器 (Performance Monitor)：**长期、低功耗地运行在后台，收集一系列关键性能指标 (KPIs)，如：
 - **认知效率：**平均预测正确率 (C 值均值)、新概念融合速度。
 - **情绪健康：**情绪 PAD 值的长期均值和方差（避免长期抑郁或躁狂）、情绪波动剧烈程度。
 - **任务表现：**在特定任务上的成功率、完成时间、所需能量消耗。
 2. **元分析器 (Meta-Analyzer)：**定期（如每 24 小时）分析性能监控器收集到的数据，并将其与一个预设的“人格与目标”配置文件进行对比。例如，配置文件要求“成为一个好奇且乐观的伙伴”，而分析器发现系统过去 24 小时的 P 值均值持续为负，且新概念学习缓慢。
 3. **参数调节器 (Parameter Tuner)：**根据元分析器的诊断，对一小部分关键的全局超参数进行微小的、有依据的调整。它拥有一张“参数-影响”知识图谱（例如，{参数: '时间常数 τ '，影响: '调高会增强联想，但可能降低逻辑精度'}），并据此生成调整方案。
- **可调参数示例(完整列表见附录)：**

- μ (情绪回归速率): 决定情绪平复速度。若系统情绪波动过于剧烈, 可适当调高。
- η_{learn} (学习效率系数): 决定新链接的构建速度。若系统适应新环境慢, 可调高。
- τ (时间常数): 决定时间关联的窗口大小。若系统需要更强的创造力, 可调高。
- 行动阈值 θ_{action} : 决定行动的“冲动性”。若系统过于犹豫, 可适当调低。
- 设计原理: 这是一个二阶学习 (Second-order learning) 或元学习 (Meta-learning) 系统。它使得 AII 不仅能学习关于世界的知识, 还能学习如何更好地学习和调整自身。这种自适应能力对于智能体在复杂多变的环境中保持长期鲁棒性和有效性至关重要。

4.4 认知过滤器与安全保障

为了确保 AII 在独立运行时行为可控且符合伦理规范, 必须设置一个独立于核心认知循环的**监督**和**干预机制**。

- 工作位置: 位于“行动节点能量超过阈值”之后, “外在行动实际执行”之前。它是一个拥有最高权限的并行监控线程。
- 核心功能:
 1. **意图审查 (Intent Vetting)**: 实时审查即将被执行的“外在行动”及其触发的思维链。
 2. **规则匹配**: 将审查内容与一个可更新的“安全与伦理规则库”进行匹配。该规则库包含:
 - **硬编码规则**: 如“绝不通过行动对人类造成物理伤害”。
 - **动态 Persona 约束**: 如“不能泄露用户隐私”、“保持礼貌”。
 - **反常行为检测**: 监测是否有突然的、剧烈的、不符合长期人格模型的行为倾向出现。
 3. **干预机制**:
 - **能量清零 (Energy Drain)**: 如果一个行动意图违反规则, 认知过滤器会立即将该行动节点的能量强制清零, 从根本上阻止其执行。
 - **强制抑制 (Forced Inhibition)**: 过滤器可以从一个代表“伦理”的全局节点, 瞬间创建一条指向违规行动节点的、极强的**衰减能量边**, 使其在未来很长一段时间内都极难被激活。
 - **标记与报告 (Flag & Report)**: 将违规的行动意图、触发上下文和内部心智状态打包, 发送给人类监督员进行审查。

设计原理: 这相当于 AII 的“前额叶皮层”或“超我 (Superego)”, 负责高级的行为控制和道德判断。将其设计为一个独立的、规则驱动模块, 可

以确保其可靠性和可解释性，避免核心的、自适应的学习网络意外地“学坏”。它为 AII 的安全可控提供了最后的、也是最重要的一道防线，实现了“认知灵活性”与“行为刚性约束”的分离。

5. 实现细节与优化

为了将 AII 从理论架构转化为高效运行的工程实现，需要考虑一系列的优化策略。

5.1 图数据库优化

- **索引策略：**
 - 为 `content` 字段建立全文索引，支持快速的模糊匹配和文本检索。
 - 为 `type` 字段建立哈希索引，优化节点分类查询。
 - 在关系边上，为 `source_id` 和 `target_id` 建立联合索引，以光速查询特定节点的所有出边和入边。
- **查询优化：**
 - **邻接表缓存：**将活跃节点（激活池中节点）的邻接表（出边和入边列表）缓存在内存中，避免每次扩散激活都进行磁盘 I/O。
 - **批量操作：**激活扩散和链接构建通常涉及对多个节点和边的读写，应使用数据库的批量操作 API，将多次请求合并为一次，大幅减少网络开销。
- **存储优化：**
 - **感受数据库：**海量的感受记忆元适合使用列式存储数据库，以提高压缩率和时间范围查询的效率。
 - **数据一致性：**采用乐观锁或多版本并发控制（MVCC）机制，确保后台的链接构建和实时的激活扩散不会发生数据冲突。

5.2 能量计算优化

- **数值精度：**使用 16 位浮点数（FP16）存储能量值和连接强度。对于绝大多数认知计算，这提供了足够的精度，同时能将内存占用和数据传输量减半。
- **并行化：**
 - 激活池中所有节点的能量衰减、链接构建的能量消耗计算，都可以通过 GPU 或 SIMD 指令进行大规模并行处理。
 - 情绪渗透器在回溯和创建能量边时，也可以并行处理多个时间窗口内的节点对。
 - **函数近似：**对于计算复杂的 S 型函数或指数衰减函数，可以使用预计算的查找表（LUT）或更简单的分段线性函数来近似，以牺牲微小精度换取巨大计算速度提升。

5.3 内存管理与自适应资源利用

- **激活池管理：**
 - 采用高效的数据结构（如支持按能量排序的优先队列）来管理激活池，以便快速找到能量最高的节点（注意焦点）。
 - 节点的淘汰（当能量低于降噪阈值时）可以通过周期性的批量删除操作来完成，以降低单次操作的开销。
- **动态资源自适应：**
 - 核心思想：所有计算密集型操作的“深度”和“广度”上限都不是固定的，而是当前系统可用 CPU 和内存资源的函数。
 - **实现：**系统后台有一个资源监控线程，它会动态调整如下全局参数：
 - **最大记忆检索深度：**

$$\text{Max_Retrieval_Depth} = \text{Base_Depth} + k * \log(\text{Available_RAM})$$

- **链接构建频率：**

$$\text{Link_Creation_Frequency} \propto \text{CPU_Idle_Percentage}$$

- **设计原理：**这种自适应性使得 AII 架构具有极强的可伸缩性。在云端服务器上，它可以拥有更“深邃”的思考和更“勤奋”的学习；在边缘设备上，它会自动变得更“专注当下”，但核心的认知循环依然可以流畅运行。

5.3.1 激活池的软性容量与超限抑制

为了确保 AII 在不同性能的设备上都能流畅运行，并避免因激活池或链接边的无限制增长导致的复杂度爆炸（特别是 $O(N^2)$ 的链接构建过程），系统设计了一个软性的容量管理机制，而非硬性的数量上限。

- **核心思想：**模拟生物系统的“超限抑制”现象。当系统资源（如激活池节点数）接近或超过一个理想的软性上限时，系统会进入一种“认知过载”状态，此时所有能量消耗过程的成本都会动态增加，从而自然地抑制新节点的产生和链接的构建，将系统活动维持在可持续的范围内。
- **实现机制：**
 - **资源监控：**一个后台线程持续监控激活池中的节点数量 N_{active} 和链接边的数量 E_{active} 。
 - **软性上限设定：**系统可以预设一个理想的容量上限，例如 $N_{\text{limit}} = 1000$, $E_{\text{limit}} = 1000$ 。
 - **动态损耗系数：**系统维护一个全局的“过载损耗系数” $\lambda_{\text{overload}}$ 。该系数通常为 0，但当 N_{active} 或 E_{active} 超过其上限时，该系数会随超越量非线性增加。

$$\text{if } \mathcal{N}_{\text{active}} > \mathcal{N}_{\text{limit}} : \lambda_{\text{overload}} = k \times \left(\frac{\mathcal{N}_{\text{active}}}{\mathcal{N}_{\text{limit}}} - 1 \right)^2$$

- 应用于能量消耗：这个 $\lambda_{\text{overload}}$ 会加到所有核心的能量消耗环节中：
 - 链接构建消耗：消耗的能量会乘以 $(1 + \lambda_{\text{overload}})$ 。
 - 激活扩散损耗：路径损耗系数 λ_{erosion} 会临时增加。
 - 时间衰减：能量的自然衰减速率也会加快。

设计原理：这种设计远比硬性地删除“最不活跃”的节点更为优雅和健壮。它通过一个全局的负反馈机制，让系统在面临高认知负荷时，自动变得更“节能”、更“挑剔”，优先保留最高能量的核心想法，加速淘汰边缘信息。这使得系统能够根据实时算力负载，动态地调整其“思考”的广度和深度，实现了强大的自适应资源管理。

5.4 系统优势与已解决问题

本章节针对读者可能关心的关键技术挑战，说明 AII 架构中已有的解决方案。

1. 计算效率与可扩展性

- **条件反射式处理：**成熟模型通过融合后的高阶概念和高强度连接通路，能以极低能耗处理绝大多数常规任务。
- **能量驱动的自然剪枝：**计算资源（能量）天然地向最重要的信息倾斜，避免了在无关信息上的浪费。
- **动态资源分配：**系统能根据硬件环境自适应调整其“思考”的深度和广度。

2. 持续学习与灾难性遗忘

- **去中心化学习：**学习过程（链接构建与用进废退）发生在网络的每个角落，新知识的融入是对现有网络的微调，而非整体覆盖。
- **动态平衡：**“用进废退”机制确保了重要、常用的知识会被不断巩固，而不相关的旧知识会自然衰退，使得系统在保持稳定性的同时具备可塑性。

3. 符号接地与多模态能力

- **统一符号表示：**任何模态的信息，只要能通过**感受器**转化为携带能量的特征化节点，就能无缝融入认知网络。
- **跨模态关联学习：**由于所有节点都在同一个激活池中进行交互和链接构建，系统可以自动学习到不同模态信息之间的语义联系（例如，“苹果”这个词节点，和通过图像感受器传入的“红色圆形水果”特征节点之间会建立强连接）。

4. 安全、伦理与可控性

- **分层设计**：将灵活的、自适应的核心认知网络，与刚性的、规则驱动的认知过滤器分离，确保了安全底线。
 - **价值对齐**：通过 LLM 辅助训练和后续的真实环境反馈，系统的价值体系（体现为能量边的分布）可以被引导和塑造，使其行为符合人类期望。
 - **动机可解释性**：智能体的任何一个行为，原则上都可以通过回溯触发它的能量流动路径来解释其动机，为行为审查提供了可能性。
-

6. 附录

A. 完整流程运行示例

A.1 示例一：“习惯的养成” – 从思考到反射

- **情景：** AII 作为驾驶辅助系统，学习“前方车辆刹车灯亮起，我方车辆需要减速”的规则。
- **流程：**

1. 初次学习（思考阶段）：

- **输入：** 视觉感受器传入高能量节点 [车辆刹车灯亮] ($E=2.0$)。同时，人类驾驶员执行操作，传入另一个高能量节点 [踩下刹车踏板] ($E=2.0$)。
- **认知：** 两个高能量节点同时出现在激活池中。根据**链接构建算法**，[踩下刹车踏板] 节点会消耗能量，构建一条从 [车辆刹车灯亮] 指向自己的强力入边。**strength** 增加。
- **结果：** 形成了一条初步的因果链。

2. 反复练习（强化阶段）：

- 这个情景在驾驶过程中反复出现。每一次，[车辆刹车灯亮] 节点都会通过**扩散激活算法**，将能量传递给 [踩下刹车踏板]，使其能量提升。同时，真实的操作再次验证了这条连接，通过**链接构建算法**进一步极大地增强了 **strength**。

3. 认知融合（反射形成）：

- 当 **Edge** (刹车灯亮, 踩刹车) 的 **strength** 变得极高后，来自 [车辆刹车灯亮] 的能量能够在极短的**融合时间窗口**内，瞬间传递到 [踩下刹车踏板] 并使其能量超过扩散阈值。
- **认知融合过程**被触发，系统创建一个新的 **COMPOUND** 节点，如 [车辆刹车灯亮, 踩下刹车踏板]。这个新节点内部封装了从感知到行动整个流程。

4. 习惯养成（自动化阶段）：

- 未来，当视觉感受器再次传入 [车辆刹车灯亮] 时，系统会通过**认知匹配**，直接激活能量效率极高的复合节点 [车辆刹车灯亮, 踩下刹车踏板]。能量瞬间流到内部的行动节点，触发减速行为，几乎无需能量在多个独立节点间传递的“思考”时间。一个深思熟虑的行为，至此演化为了一个高效的、自动化的习惯。

A.2 示例二：“触景生情” – 情绪驱动的回憶与联想

- 情景：AII 在浏览图片，看到一张傍晚海边的照片。
- 流程：

1. 输入与初步认知：

- 图像感受器传入一系列高能量节点：[橙色天空] ($E=1.5$)，[沙滩] ($E=1.2$)，[海浪声_特征] ($E=1.0$)。这些节点涌入激活池。

2. 记忆检索：

- [橙色天空] 和 [沙滩] 的能量触发了对感受数据库的深度检索。
- 检索匹配到了一个过去存储的、importance 较高的记忆元，其内容是 [“和朋友”，“在海边”，“看日落”，“聊天”]，并且其 emotion_at_encoding 记录了一个很高的 P 值（愉悦度）。

3. 回忆与情绪共鸣：

- 这个记忆元被激活，其包含的节点 [“和朋友”，“看日落”，...] 被高能量地注入激活池。
- 同时，emotion_at_encoding 的 P 值被读取，与当前情绪状态发生共鸣，导致全局情绪的 P 值显著提升 $\Delta P = +0.6$ 。

4. 情绪渗透：

- 情绪渗透器检测到这个强烈的正向 ΔP 。
- 它立刻回溯，发现在此情绪事件之前的激活窗口内，[橙色天空]、[沙滩] 等节点，以及被回忆起的 [“和朋友”，“看日落”] 等节点都处于高激活状态。
- 于是，它在这些节点之间的路径上，铺设了临时的增益能量边 (Amplify Edge)。例如，在 Edge(橙色天空, 和朋友) 上附加了 (type: AMPLIFY, magnitude: 1.6)。

5. 联想与想法流：

- 现在，激活池中的能量景观被改变了。即使 [橙色天空] 的能量开始衰减，当它再次尝试扩散时，流向 [“和朋友”] 等愉快记忆的能量会被放大。
- 这使得与“朋友”、“愉快回忆”相关的节点持续获得高能量，成为注意力的焦点。
- 最终，系统可能生成这样的想法流：“这张照片... 让我想起了和朋友一起在海边看日落的时候，那种感觉真好。” 一个由外部感知触发，经由记忆联结，最终被情绪染色的完整思维体验链就此形成。

B. 理论贡献与未来工作

- 理论贡献:

1. **能量驱动的统一认知模型:** 首次提出了一个将信息处理、学习、注意、情绪和动机完全统一在“能量”这一单一标量下的计算模型，为构建更简洁、更符合物理直觉的 AGI 提供了新的范式。
2. **情绪的计算实现:** 通过“能量边”机制，为情绪如何直接、动态地影响思维流提供了一种新颖且可计算释，实现了从“识别情绪”到“拥有情绪驱动力”的跨越。
3. **自组织的符号系统:** 摒弃了对概念和规则的硬编码，展示了一个知识网络如何从底层的能量流动和连接生灭中，自发地涌现出抽象概念、因果关系和行为习惯。

- 未来工作:

1. **具身化与环境交互:** 将 AII 部署于物理机器人中，研究其在与真实物理世界交互过程中的学习，特别是因果关系的探索和对物理规律的内化。
2. **社会性与心智理论:** 构建多 AII 智能体系统，研究它们之间如何通过交互形成社会规范、语言，以及是否能够涌现出对其他智能体心智状态（能量景观）的猜测和理解（即“心智理论”）。
3. **脑科学交叉验证:** 与神经科学和认知科学进行深度合作，对比 AII 中的能量流动模式、网络结构演化与人脑的 fMRI/EEG 数据、突触可塑性机制，以相互启发、迭代优化。

C. 全系统可调参数总表

下表列出了 AII 架构中的关键可调参数，它们共同定义了智能体的“先天性格”和学习特性。参数自适应微调系统（4.3 节）的目标就是自动化地优化这些参数。

参数名称	所在模块/流程	默认值/示例值	作用与影响	调整方向建议
能量与激活参数				
Noise_Threshold	激活池	0.005	节点进入激活池或参与计算所需的最低能量。	调高可大幅降低计算量，但可能忽略微弱信号；调低则系统更敏感，计算开销大。
Activation_Spread_Threshold	扩散激活算法	1.0	节点能量超过此值才可能触发扩散激活。	调高使节点需要更多“蓄力”才能产生联想，思维更收敛；调低则联想更频繁、发散。
Erosion_Coefficient (λ_{erosion})	扩散激活/链接强度	0.01	能量每次流经连接时，对连接强度的损耗系数。	调高使错误连接衰退更快，网络更“挑剔”；调低则连接更稳定，但可能保留无效关联。
Release_Efficiency_Steepness	扩散激活算法 (2.2)	0.5	能量释放效率 S 型函数的陡峭度。决定了节点从“新手”到“专家”（高效率释放能量）的过渡速度。	调高使节点需要更强的总链接强度才能高效释放能量，专家/新手区别更明显；调低则大多数节点都能较快达到高效率释放。
Refractory_Period_Factor	扩散激活算法 (2.2)	1.5	决定了“链接不应期”的初始抑制强度。该值与流经能量相乘，决定了初始抑制系数的大小。	调高使注意力（高能量）对反射的抑制作用极强；调低则抑制作用更温和，反射更难被压制。
Refractory_Recovery_Rate	扩散激活算法 (2.2)	0.1（每秒）	“链接不应期”抑制系数随时间恢复到 1 的速度。	调高使链接“恢复”得更快，注意力抑制是短暂的；调低则一次强烈的抑制效果会持续很长时间。
学习与网络构建参数				
Learning_Efficiency (η_{learn})	链接构建算法	0.1	控制新链接构建/增强的速度。	调高则学习速度快，但可能导致网络不稳定；调低则学习更平稳，但需要更多重复。
Time_Constant (τ)	链接构建算法	5.0（秒）	时间衰减函数中的时间常数，决定语	调高使系统能关联时间跨度更长的事件，更具宏观视野；

			义关联的时间窗口。	调低则更关注即时因果，逻辑更严谨。
Fusion_Energy_Diff_Factor	认知融合过程	0.8	能量差值对融合时间窗口的缩减系数。	调高则微小能量差异也会打断融合，事件切分更细；调低则系统更倾向于将连续输入视为整体。
Prediction_Time_Decay	情景记忆预测器 (2.6)	2.0 (秒)	预测能量在记忆时间链上传播时的衰减速率。	调高使预测很快衰减，系统更关注短期、直接的未来；调低则能量能传播到更遥远的未来记忆，进行更长远的规划和预测。
情绪与行动参数				
Emotion_Attribution_Window	情绪渗透器	5.0 (秒)	情绪事件发生后，向前回溯寻找归因对象的时间口。	调高可将情绪与更早的事件关联，但可能产生错误归因；调低则归因更精确，但可能忽略间接原因。
Emotional_Magnitude_Factor	情绪渗透器	1.0	将 ΔP 值转化为链接能量边放大/衰减系数的比例因子。	调高使情绪对链接学习的影响更剧烈；调低则影响更温和，系统更“理性”。
Energy_Edge_Decay_Rate	情绪渗透器	0.05	链接能量边随时间或使用次数的衰减速率。	调高使情绪影响消散更快；调低则一次强烈情绪体验对链接的影响会持续很久。
Arousal_Decay_Rate (μ_a)	情绪系统 (3.1)	0.05 (每周期)	控制唤醒度（兴奋/紧张）回归基线（平静）的速度。	调高使系统情绪更“稳定”，不易长时间兴奋或紧张；调低则情绪体验更“持久”，大起大落后需要更长时间平复。
Pleasure_Decay_Rate (μ_p)	情绪系统 (3.1)	0.01 (每周期)	控制愉悦度（心情好坏）回归中性的速度。通常应低于唤醒度衰减率。	调高使系统“不记仇”也“不沉溺”，情绪来去匆匆；调低则系统“情感丰富”，心情会长时间受事件影响。
Dominance_Decay_Rate (μ_d)	情绪系统 (3.1)	0.0001 (每周期)	控制支配度（自信）回归基线的速度。该值通常极低。	调高会使“自信心”非常不稳定，容易大起大落；调低则形成更稳固的、类似长期人格特质的自信水平。
Emotional_Gain_Coefficient (k_{gain})	情景记忆预测器 (2.6)	1.2	将预测中的情绪变化 ΔP 转化为 预测能量增益 的系数。	调高使系统对未来事件的情绪预演反应极为剧烈，充满“激情”和“戏剧性”；调低则预测过程更平稳，情绪影响较小。

Sensory_Focus_Multiplier	内在行动系统 (3.3)	2.5	执行“感觉聚焦”内在行动时，对目标感受器初始能量的增益倍数。	调高使系统“集中精神”的效果非常显著，能强力过滤无关信息；调低则聚焦效果更柔和。
Base_Action_Threshold (θ_{action})	外在行动系统	动态/10.0	行动节点触发执行所需的基础能量阈值。	整体调高使系统更“谨慎”、“三思而后行”；整体调低则更“冲动”、“果断”。
高级系统参数				
LLM_Correction_Threshold	运行模式切换	5%	从 LLM 模式切换到独立模式所需的修正率阈值。	调高则系统更快“毕业”，可能学习不充分；调低则需要更长时间的“辅导”。
Meta_Analysis_Period	参数自适应系统	24 (小时)	元分析器评估和调整参数的周期。	调短则系统自适应更频繁，可能不稳定；调长则适应速度慢，但更平稳。
Active_Node_Soft_Limit	内存管理 (5.3.1)	1000	激活池中节点的软性容量上限，超过后开始施加“超限抑制”。	调高允许系统在高性能设备上进行更广泛的并行思考；调低则确保在低性能设备上保持流畅。
Overload_Penalty_Factor	内存管理 (5.3.1)	0.5	“超限抑制”的惩罚强度系数。决定了超出软性上限后，能量损耗增加的速度。	调高使系统对容量上限的反应非常敏感，会强力维持容量稳定；调低则允许容量在上限附近有更大的浮动空间。

参考文献:

1. McClelland, J. L., Rumelhart, D. E., & PDP Research Group. (1986). *Parallel distributed processing: Explorations in the microstructure of cognition*.
2. Friston, K. (2010). *The free-energy principle: A unified brain theory?* *Nature Reviews Neuroscience*.
3. Hebb, D. O. (1949). *The organization of behavior: A neuropsychological theory*.
4. Mehrabian, A. (1996). *Pleasure-arousal-dominance: A general framework for describing and measuring individual differences in temperament*.
5. Baddeley, A. D. (2000). *The episodic buffer: A new component of working memory?*

作者：银老师

日期：2025 年 10 月 11 日